

# ΠΡΑΚΤΙΚΑ ΤΗΣ ΑΚΑΔΗΜΙΑΣ ΑΘΗΝΩΝ

ΣΥΝΕΔΡΙΑ ΤΗΣ 11ΗΣ ΔΕΚΕΜΒΡΙΟΥ 1997

ΠΡΟΕΔΡΙΑ ΝΙΚΟΛΑΟΥ ΜΑΤΣΑΝΙΩΤΗ

ΙΑΤΡΙΚΗ. — Ή επίδραση τής ισχαιμίας τοῦ άορτικοῦ τοιχώματος στὴ μηχανικὴ συμπεριφορὰ τοῦ ἀγγείου, ὑπὸ τῶν 'Ακαδημαϊκῶν Π. Σ. Θεοχάρη, Γρ. Δ. Σκαλκέα καὶ τῶν Δ. Ἀγγούρα, Δ. Σοκόλη, Ε. Ἀγαπητοῦ, Ν. Κωστομητσόπουλον, Ν. Καβαντζᾶ, Ι. Δοντᾶ, Δ. Περρέα, Χ. Μπουντούλα, Π. Ε. Καραγιαννάκον,\* διὰ τοῦ 'Ακαδημαϊκοῦ κ. Γρ. Σκαλκέα.

## ΕΙΣΑΓΩΓΗ

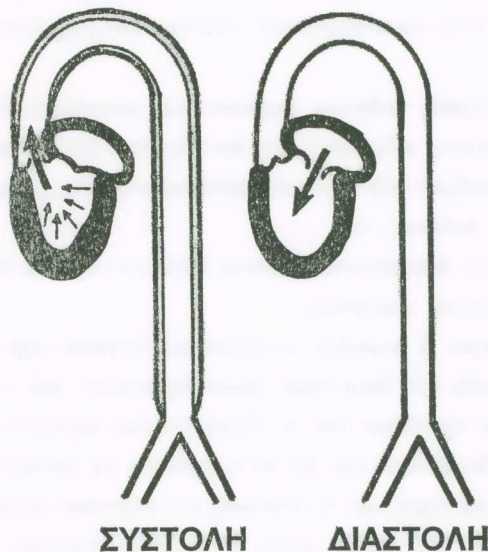
Ἡ άορτὴ ἀποτελεῖ τὸ μεῖζον ἀρτηριακὸ στέλεχος τὸ ὅποῖο ὑποδέχεται καὶ μεταφέρει τὸ αἷμα ποὺ ἔξωθεῖται ἀπὸ τὴν ἀριστερὴ κοιλία τῆς καρδίας στὴ συστηματικὴ κυκλοφορία. Δὲν ἀντιστοιχεῖ ὡστόσο σ' ἐναν ἀπλὸ σωλήνα μεταφορᾶς αἷματος, ἀλλὰ σ' ἐναν ἐλαστικὸ ἀγγεῖο μὲ ἀνομοιογενὴ δομὴ καὶ πολύπλοκες μηχανικὲς ίδιότητες, ποὺ τὴν καθιστοῦν ἐνα ὄργανο μὲ σημαντικὸ ρόλο στὴν ὁμοιοστασία τοῦ κυκλοφορικοῦ συστήματος. Ἡ διάμετρος τῆς ἀορτῆς αὔξανεται μὲ τὴν αὔξηση τῆς ἐνδοαγγειακῆς πιέσεως. Κατὰ τὴ διάρκεια, ἐπομένως, τῆς καρδιακῆς συστολῆς ἡ ἀορτὴ διατείνεται ἀποθηκεύοντας ἐνα μεγάλο ποσοστὸ τοῦ ὄγκου παλμοῦ τῆς ἀριστερᾶς κοιλίας, ἐνῶ ἀντιθέτως κατὰ τὴ διαστολὴ τῶν κοιλιῶν τὸ ἀορτικὸ τοίχωμα ἐπανέρχεται ἀργὰ στὶς ἀρχικές του διαστάσεις, ἀποδίδοντας πρὸς τὴν περιφέρεια καὶ τὶς στεφανιαῖς ἀρτηρίες τῆς καρδίας τὸ ἀποθηκευμένο αἷμα (Σχῆμα 1). Ἡ διατασιμότητα (distensibility) αὐτὴ τοῦ ἀορτικοῦ τοιχώματος ἔξασφαλίζει: (α) τὴν πίεση καὶ τὴ ροή τοῦ αἵματος ἐντὸς τοῦ ἀρτηριακοῦ δικτύου καθ' ὅλη τὴ διάρκεια τοῦ καρδιακοῦ κύκλου [1] καὶ (β) τὴν ἐπαρκὴ αἱμάτωση τοῦ μυοκαρδίου, δεδομένου ὅτι τὸ 55-93%

\* P. S. THEOCARIS, GR. D. SKALKEAS, D. ANGOURAS, D. SOKOLIS, E. AGAPITOS, N. KOSTOMITSOPOULOU, N. KAVATZAS, I. DONTAS, D. PERREA, CH. BOUDOULAS, P. E. KARAYANNACOS, *The effect of aortic wall ischaemia on the mechanical properties of the vessel*.

τῆς στεφανιαίας αίματικῆς παροχῆς ἀποδίδεται στὴν καρδιὰ κατὰ τὴ διαστολικὴ φάση τῆς λειτουργίας της [2].

Ἐγει ἀποδειχθεῖ ὅτι ἡ διατασμότητα τῆς ἀορτῆς, ὥπως καὶ ἄλλοι παράμετροι τῆς μηχανικῆς συμπεριφορᾶς τοῦ ἀορτικοῦ τοιχώματος, μεταβάλλονται μὲ τὴν πάροδο τῆς ἡλικίας [3-10]. Ἐπίσης, ἡ ἀορτικὴ διατασμότητα μεταβάλλεται καὶ σὲ ὁρισμένες παθολογικὲς καταστάσεις, ὥπως ἡ ἀθηρωμάτωση [11-13], ἡ στεφανιαία νόσος [9, 14-18], ἡ ἀρτηριακὴ ὑπέρταση [5, 7, 11, 19-21] καὶ ἡ καρδιακὴ ἀνεπάρκεια [1], στὸν παθοφυσιολογικὸν μηχανισμὸν καὶ τὴ φυσικὴ ἔξέλιξη τῶν ὅποιων φαινεταὶ πῶς διαδραματίζει βασικὸν ρόλον. Ἡ πληρέστερη, κατὰ συνέπεια, διερεύνηση τῆς μηχανικῆς συμπεριφορᾶς τῆς ἀορτῆς ἀναμένεται νὰ συμβάλλει στὴν κατανόηση τῶν παθογενετικῶν μηχανισμῶν καὶ τελικῶς στὴν ἀποτελεσματικότερη ἀντιμετώπιση τῶν νόσων αὐτῶν. Ὅποιον προκαλέσει τὸ ἐπιστημονικὸν ἐνδιαφέρον καὶ ἀποτελοῦν, τὰ τελευταῖα χρόνια, ἀντικείμενο ἐντατικῆς μελέτης.

Στὴν προσπάθεια αὐτή, τὸ Ἑργαστήριο Πειραματικῆς Χειρουργικῆς καὶ Χειρουργικῆς Ἑρεύνης τῆς Ἱατρικῆς Σχολῆς τοῦ Πανεπιστημίου Ἀθηνῶν διερεύνησε



**Σχῆμα 1.** Σχηματικὴ παράσταση τῆς ἐκπτύξεως τῆς ἀορτῆς κατὰ τὴν καρδιακὴν συστολή. Ὁ βαθμὸς τῆς ἀορτικῆς ἐκπτύξεως ἔξαρταται ἀπὸ τὸ συντελεστὴ ἐλαστικότητος τοῦ ἀορτικοῦ τοιχώματος καὶ ἀπὸ τὴν πίεση σφυγμοῦ. (Ἄπο: Boudoulas H, Toutouzas PK, Wooley CF, eds. *Functional abnormalities of the aorta*. New York: Futura Publishing Company, Inc, 1996 : 3-36).

σὲ προηγούμενες μελέτες τὸν τρόπο μὲ τὸν ὅποῖο οἱ μηχανικὲς ἴδιότητες τοῦ τοιχώματος τῆς θωρακικῆς ἀορτῆς μεταβάλλονται *in vivo*, ὑπὸ συνθῆκες ὀξείας καὶ χρονίας ἀορτικῆς ἰσχαιμίας.<sup>3</sup> Απὸ τὶς μελέτες αὐτὲς ἀποδείχτηκε ὅτι ἡ ὀξεία [22] καὶ ἀκόμη περισσότερο ἡ χρόνια ἰσχαιμία τοῦ μέσου χιτῶνος τῆς ἀνιούσης θωρακικῆς ἀορτῆς [23], ἡ ὅποια προκλήθηκε ἀπὸ διακοπὴ τῆς αἰματικῆς παροχῆς διὰ τῶν *vasa vasorum*, προκαλοῦν σημαντικές μεταβολὲς τῆς μηχανικῆς συμπεριφορᾶς τοῦ ἀορτικοῦ τοιχώματος *in vivo*, καὶ συγκεκριμένα ἐλάττωση τῆς ἐλαστικότητός του κατὰ 2,2 φορὲς περίπου.

<sup>3</sup> Αντικείμενο τῆς παρούσης πειραματικῆς ἔργασίας ἦταν ἡ *in vitro* μελέτη τῶν ἐλαστικῶν ἴδιοτήτων τῆς ἰσχαιμικῆς θωρακικῆς ἀορτῆς. Η *in vitro* μηχανικὴ ἀνάλυση τῆς ἀορτῆς παρουσιάζει ὄρισμένα πλεονεκτήματα, ποὺ ἀπαλείφουν ἐγγενεῖς ἀδυναμίες τῶν προηγούμενων *in vivo* μελετῶν. Συγκεκριμένα:

(α) καταγράφει τὴ μηχανικὴ συμπεριφορὰ τοῦ ἀορτικοῦ τοιχώματος σὲ ὁλόκληρο τὸ φάσμα τῶν δυνητικῶν ἀσκουμένων στὸ τοίχωμα τάσεων. Αντιθέτως, ἡ *in vivo* μελέτη δὲν εἶναι *a priori* σὲ θέση νὰ διερευνήσει τὴν ἀορτικὴ διατασιμότητα παρὰ μόνο ἐντὸς τοῦ περιορισμένου φάσματος τῶν φυσιολογικῶν πιέσεων, δηλαδὴ μεταξὺ διαστολικῆς καὶ συστολικῆς ἀρτηριακῆς πιέσεως. Η *in vitro* ἀνάλυση παρέχει κατὰ τὸν τρόπο αὐτὸ πληρέστερη εἰκόνα τῆς μηχανικῆς συμπεριφορᾶς τοῦ ὕλικοῦ καὶ συμβάλλει στὴν κατανόηση τῶν πολύπλοκων μηχανισμῶν ποὺ τὴν καθορίζουν.

(β) εἶναι ἀπηλλαγμένη πιθανῶν τυχαίων καὶ συστηματικῶν σφαλμάτων ὡς ἀποτέλεσμα τῆς ἐπιδράσεως στὶς μετρήσεις ἀστάθμητων βιολογικῶν παραγόντων, οἱ ὅποιοι δυνητικῶς ἐπηρεάζουν τὴν ἀορτικὴ διατασιμότητα (π.χ. διεγχειρητικὲς μεταβολὲς τῆς ἀρτηριακῆς πιέσεως) καὶ

(γ) προϋποθέτει τὴ δυνατότητα χρήσεως ὀργάνων ὑψηλῆς πιστότητος ποὺ ἐγγυῶνται μετρήσεις μεγάλης ἀκριβείας.

Βάσει τῶν ἀνωτέρω, ἡ παροῦσα πειραματικὴ ἔργασία εἶχε ὡς στόχο: (α) νὰ διερευνήσει τὶς μεταβολὲς τῶν ἐλαστικῶν χαρακτηριστικῶν τοῦ τοιχώματος τῆς θωρακικῆς ἀορτῆς ζωικῶν προτύπων ὑπὸ συνθῆκες χρονίας ἰσχαιμίας, ἐντὸς ἐνὸς εὐρέος φάσματος τοιχωματικῶν τάσεων καὶ (β) νὰ συσχετίσει τὶς μεταβολὲς αὐτὲς μὲ τυχὸν ἀλλαγὲς στὴν ἵστολογικὴ δομὴ καὶ τὴ σύσταση τοῦ ἀορτικοῦ τοιχώματος.

Σκόπιμη θεωρεῖται, στὸ σημεῖο αὐτό, ἡ παράθεση βασικῶν στοιχείων γιὰ τὴν αἰμάτωση τοῦ ἀορτικοῦ τοιχώματος. Τὸ τοίχωμα τῆς θωρακικῆς ἀορτῆς, ὥπως κάθε ζωντανὸς ἴστος, προσλαμβάνει ὀξυγόνο καὶ θρεπτικές ούσιες γιὰ τὴν παραγωγὴ ἐνέργειας καὶ τὴ διατήρηση τῆς ὁμοιοστασίας του. Η θρέψη τοῦ τοιχώματος τῆς θωρακικῆς ἀορτῆς ἐπιτελεῖται μὲ δύο μηχανισμούς [24-27]:

(α) δύο χιτώνας και τὸ ἔσω τριτημόριο τοῦ μέσου χιτῶνος αὐτῆς τρέφονται κατὰ κύριο λόγο, μὲν διάχυση οὖσιῶν καὶ μὲν διατοιχωματικὴ ροή πλάσματος [28, 29] ἀπὸ τὸ αἷμα ποὺ ρέει ἐντὸς τοῦ ἀορτικοῦ αὐλοῦ,

(β) δύο χιτώνας και τὰ δύο ἔξω τριτημόρια τοῦ μέσου χιτῶνος χρειάζονται τὴν παροχὴν ἐπιπλέον αἷματος, ἡ δοπία ἔξασφαλίζεται διὰ μέσου μικροσκοπικῶν ἀγγείων, τῶν vasa vasorum («ἀγγεῖα τῶν ἀγγείων»). Τὰ vasa vasorum ἐκφύονται ἀπὸ παρακείμενες ἀρτηρίες και σχηματίζουν ἔνα περιαορτικὸ δίκτυο ἀπ’ ὃπου διεισδύουν στὸ μέσο χιτώνα, ὑπὸ τὴν μαρφὴν «ἀγγειακῶν χορδῶν» σὲ ἀπόσταση 0,5 ἔως 1,0 mm ἡ μία ἀπὸ τὴν ἄλλη [30].

Πειράματα ποὺ διερεύνησαν τὴν ἀνταπόκριση τῶν vasa vasorum σὲ διάφορα ἐρεθίσματα, ἀπέδειξαν ὅτι τὰ μικροσκοπικὰ αὐτὰ ἀγγεῖα δὲν ἀποτελοῦν παθητικοὺς ἀγωγοὺς αἷματος στὸ ἀορτικὸ τοίχωμα, ἀλλὰ εἶναι σὲ θέση νὰ ρυθμίζουν ἐνεργητικῶς τὴν αἵματικὴν τους παροχὴν. Ἐξάλλου, παρατηρήσεις σὲ ἡλεκτρονικὸ μικροσκόπιο στρώματος λείων μυϊκῶν ἴνῶν προσανατολισμένων κατὰ τὴν διεύθυνση τῶν vasa vasorum ἐν ἀντιθέσει πρὸς τὰ ὑπόλοιπα λεῖα μυϊκὰ κύτταρα τοῦ μέσου χιτῶνος, παρέχουν τὴν ἀνατομικὴν ἀπόδειξην γιὰ τὴν ἐνεργητικὴν ρύθμιση τῆς αἵματικῆς ροῆς διὰ τῶν vasa vasorum [31]. Τὰ vasa vasorum συσπῶνται μετὰ ἀπὸ διέγερση τοῦ συμπαθητικοῦ συστήματος [32], σὲ περιπτώσεις αἱμορραγικῆς καταπληξίας και ὀξείας ὑπέρτασης [31], ἐνῶ διαστέλλονται στὴν ὀξεία ὑποξίᾳ [33], μετὰ ἀπὸ χορήγηση ἀδενοσίνης [31] και σὲ ἐρεθισμὸ τῶν τασεούποδοχέων [32]. Ἐπίσης, ἡ ἀγγειοδιαστατικὴ τους ἱκανότητα μειώνεται σὲ πειραματικὴ χρόνια ὑπέρταση [34]. Μὲ δεδομένο ὅτι δύο μέσοις χιτώνας εἶναι δύο παχύτερος και σπουδαιότερος ἀορτικὸς χιτώνας, ὑπεύθυνος γιὰ τὴν μηχανικὴν συμπεριφορὰ τῆς ἀορτῆς, ὑποθέσαμε ὅτι σὲ καταστάσεις κατὰ τίς ὅποιες ἡ αἵματικὴ παροχὴ διὰ τῶν vasa vasorum δὲν εἶναι ἐπαρκὴς γιὰ νὰ ἱκανοποιήσει τίς μεταβολικὲς ἀνάγκες του και δύο μέσοις χιτώνας βρίσκεται σὲ σχετικὴ ἰσχαιμία, ἡ λειτουργικότητα και οι μηχανικὲς ἰδιότητες τοῦ ἀορτικοῦ τοιχώματος θὰ μεταβάλλονται.

#### ΤΛΙΚΟ ΚΑΙ ΜΕΘΟΔΟΣ

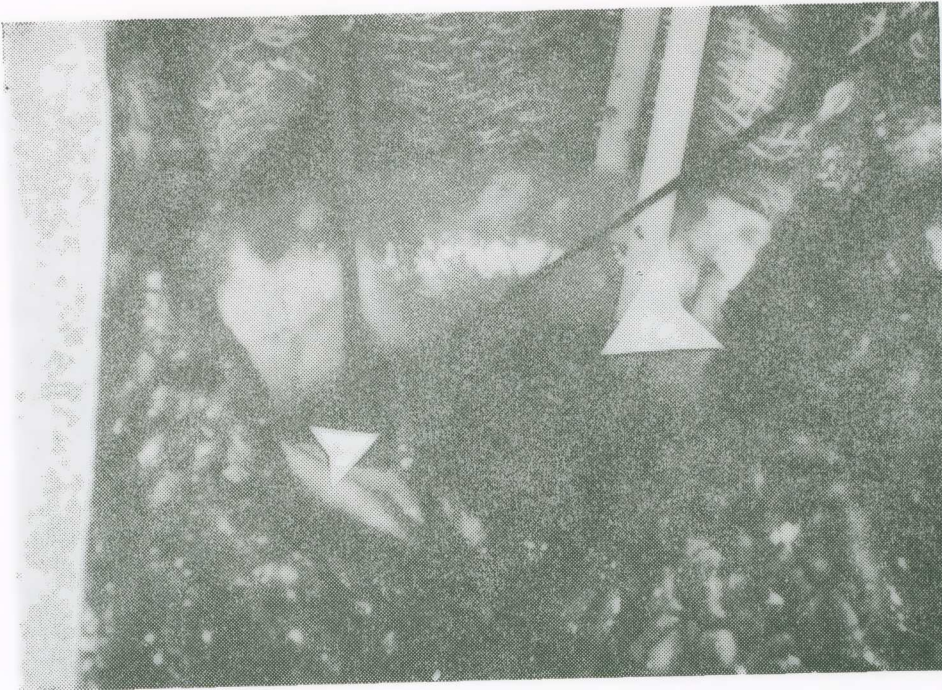
Μελετήθηκαν 18 ὑγιεῖς χοῖροι Landrace ἀμφοτέρων τῶν φύλων, βάρους 18,5 - 21 kg. Τὰ πειραματόζωα χωρίστηκαν σὲ δύο ὄμαδες. Στὴν πρώτη (όμαδα A), ποὺ περιέλαβε 8 ζῶα, μελετήθηκαν οἱ μηχανικὲς ἰδιότητες τῆς κατιούσης θωρακικῆς ἀορτῆς 15 ἡμέρες μετὰ ἀπὸ χειρουργικῶν προκληθεῖσα ἰσχαιμία τοῦ ἀορτικοῦ τοιχώματος. Ἡ δεύτερη ὄμαδα (όμαδα B) ἀποτέλεσε τὴν ὄμαδα τῶν μαρτύρων και πε-

ριέλαβε 10 ζώα, τὰ δποία ὑποβλήθηκαν σὲ χειρουργικὴ ἐπέμβαση χωρὶς τὴν πρόκληση ἀορτικῆς ἴσχαιμίας.

Οἱ συνθῆκες διαβίωσης καὶ χειρισμοῦ τῶν ζωιῶν προτύπων ἦταν σύμφωνες μὲ τὶς προδιαγραφὲς τοῦ Π.Δ. 160/94, μὲ τὸ δόποιο ἐναρμονίστηκε ἡ Ἑλλάδα στὴν Κοινοτικὴ Ὀδηγία 609/86. Τὰ ζῶα διατηρήθηκαν στὸν οἶκο πειραματοζώων τοῦ Ἐργαστηρίου Πειραματικῆς Χειρουργικῆς καὶ Χειρουργικῆς Ἐρεύνης τοῦ Πανεπιστημίου Ἀθηνῶν, μὲ σταθερὲς συνθῆκες θερμοκρασίας ( $20 \pm 2^{\circ}\text{C}$ ), σχετικῆς υγρασίας (55%) καὶ ἀερισμοῦ (12 πλήρεις ἀλλαγὲς ἀέρα ἀνὰ ὥρα) καὶ σταθερὸ πηλίκο χρόνου φωτὸς/σκότους (12/12 ὥρες).

"Ολα τὰ πειραματόζωα ὑποβλήθηκαν σὲ ἀριστερὴ θωρακοτομή. Πρὸ τῆς ἐπεμβάσεως, τὰ ζῶα ἔλαβαν προνάρκωση μὲ διαζεπάμη (0,25 mg/kg βάρους) καὶ ἀτροπίνη (0,005 mg/kg βάρους) ἐνδομυϊκῶς. Τοποθετήθηκε φλεβοκαθετήρας καὶ ἡ εἰσαγωγὴ στὴν ἀναισθησία πραγματοποιήθηκε μὲ νατριοῦχο πεντοβαρβιτόνη (30 mg/kg βάρους) ἐνδοφλεβίως, ἐνῶ συμπληρωματικὲς δόσεις χορηγήθηκαν καθ' ὅλη τὴν διάρκεια τῆς ἐπέμβασης, ὡστε νὰ ἔξασφαλίζεται ἔνα σταθερὸ ἐπίπεδο ἀναισθησίας. Τὰ ζῶα διασωληνώθηκαν, συνδέθηκαν σὲ ἀναπνευστήρα ὅγκου (Harvard) καὶ ἐτέθησαν σὲ μηχανικὸ ἀερισμὸ μὲ ἀέρα ἡ μίγμα ἀέρος-όξυγόνου. Ἡ ὁξυγόνωση τοῦ ζώου παρακολουθεῖτο συνεχῶς μὲ τὴ βοήθεια δέξμετρου, ἐνῶ συνυπῆρχε συνεχῆς καταγραφὴ τοῦ ἡλεκτροκαρδιογραφήματος καὶ ἀναίμακτη, αὐτόματη ἀνὰ τετράλεπτο, καταγραφὴ τῶν ζωτικῶν σημείων (ἀρτηριακῆς πιέσεως καὶ σφύξεων) τοῦ ζώου. Μὲ τὴν εἰσαγωγὴ στὴν ἀναισθησία χορηγήθηκαν ἐνδοφλεβίως 20 mg/kg βάρους κεφουροξίμης, ὡς ἀντιμικροβιακὴ προεγχειρητικὴ χημειοπροφύλαξη.

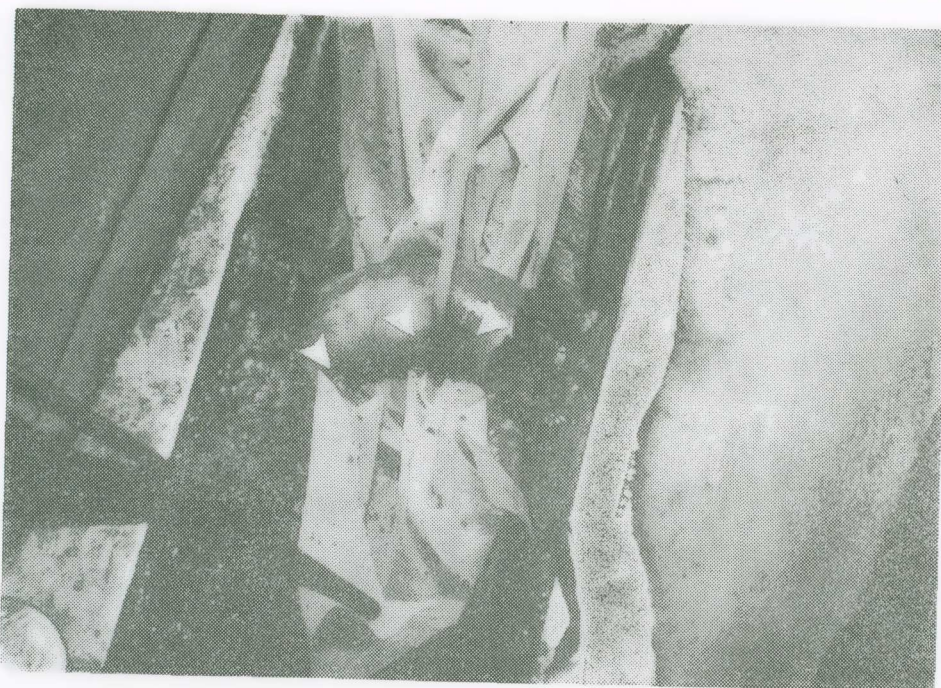
Τὰ ζῶα τοποθετήθηκαν σὲ ἀριστερὴ πλάγια θέση μὲ τὴν παρεμβολὴ ἡμικυλινδρικοῦ ἐρείσματος κάτω ἀπὸ τὸν θώρακα, ὡστε νὰ ἔξασφαλίζεται ἡ μεγαλύτερη δυνατὴ κάμψη τῆς θωρακικῆς μοίρας τῆς σπονδυλικῆς στήλης καὶ ἡ αὔξηση τῶν ἀριστερῶν μεσοπλευρίων διαστημάτων. Ἀκολούθησε ἀριστερὴ θωρακοτομὴ διὰ τοῦ τετάρτου μεσοπλευρίου διαστήματος. Στὰ πειραματόζωα τῆς ὄμάδος A, ὁ πνεύμονας ἀπωθήθηκε καὶ ἡ κατιοῦσα θωρακικὴ ἀορτὴ ἀπογυμνώθηκε ἀπὸ τὸν τοιχωματικὸ ὑπεζωκότα ποὺ τὴν περιβάλλει μερικῶς, καὶ τὸν περιαορτικὸ ἰστὸ ποὺ περιέχει τὰ vasa vasorum, σὲ ἔκταση 4-5 cm περιφερικῶς τῆς ἐκφύσεως τῆς ἀριστερᾶς ὑποκλειδίου ἀρτηρίας. Μικροαιμορραγίες ἀπὸ τὸ ἀορτικὸ τοίχωμα ἐλέγχησαν μὲ τὴν τοπικὴ ἐπίθεση γαζῶν ἐμβαπτισμένων σὲ φυσιολογικὸ ὀρὸ θερμοκρασίας  $37^{\circ}\text{C}$ . Ἡ διαθερμία, ποὺ θὰ μποροῦσε νὰ προκαλέσει ἀλλοιώσεις στὴν ἀρχιτεκτονικὴ καὶ τὶς μηχανικὲς ἰδιότητες τοῦ ἀορτικοῦ τοιχώματος, δὲν χρησιμοποιήθηκε. Ἐπιπλέον, οἱ μεσοπλεύριες ἀρτηρίες ποὺ ἐκφύονται ἀπὸ τὸ ἀποψιλωμένο τμῆμα τῆς ἀορτῆς ἀπολινώθηκαν στὴν ἔκφυσή τους καὶ διετάμησαν (Εἰκ. 1), δεδομένου ὅτι ἀποτελοῦν τὰ



Εἰκ. 1. Ἡ ἐγγύς κατιοῦσα θωρακική ἀορτή ἔχει παρασκευασθεῖ καὶ ἀποψιλωθεῖ ἀπὸ τὸν περιαρτικό ίστον καὶ ἔλκεται πρὸς τὰ ἄνω μὲ τὴν βοήθεια ἀγγειακῶν βρόχων (vessel loops). Μία ἐκ τῶν μεσοπλευρίων ἀρτηριῶν ἔχει ἀπολινωθεῖ στὴν ἔκφυσή της ἀπὸ τὴν ἀορτή (μικρὸς βέλος), ἐνῷ μία παρακείμενη μεσοπλευρίως ἀρτηρία μετὰ τὴν ἀπολίνωσή της ἔχει ἡδη διαταμεῖ (μεγάλο βέλος).

ἀγγεῖα ἀπὸ τὰ ὄποια ἐκφύονται τὰ vasa vasorum στὸ συγκεκριμένο τμῆμα τῆς θωρακικῆς ἀορτῆς [35]. Γιὰ νὰ ἀποκλειστεῖ ἡ δημιουργία νεοαγγείων πρὸς τὸ ἴσχαιμικό ἀορτικό τοίχωμα, μετὰ τὸ τέλος τῶν χειρισμῶν προκλήσεως τῆς ἀορτικῆς ἴσχαιμίας, ἡ κατιοῦσα θωρακική ἀορτή περιτυλίχθηκε μὲ ἔνα καταλλήλου μεγέθους συνθετικὸ μὴ πορώδες ύλικό (nylon), τὸ ὄποιο ἀπέκλεισε κάθε ἐπαφὴ τοῦ ἀορτικοῦ τοιχώματος μὲ τοὺς πέριξ ἴστοις (Εἰκ. 2α, 2β). Τὰ πειραματόζωα τῆς ὁμάδος B ποὺ χρησιμοποιήθηκαν ὡς μάρτυρες, ὑποβλήθηκαν σὲ ἀριστερὴ θωρακοτομὴ ὑπὸ τὶς ἕδιες συνθῆκες, χωρὶς ὅμως τοὺς προαναφερθέντες χειρουργικοὺς χειρισμοὺς πρόκλησης ἀορτικῆς ἴσχαιμίας.

Ἀκολούθως, σὲ ὅλα τὰ ζῶα καὶ τῶν δύο ὁμάδων τοποθετήθηκε σωλήνας κλειστῆς παροχετεύσεως τοῦ θώρακος καὶ ἔγινε σύγκλειση τοῦ τραύματος κατὰ τὴν ἀνατομικὴ τάξη. Ἡ πλήρης ἐκπτυξὴ τοῦ πνεύμονος ἐπιτεύχθηκε μὲ τὴν βοήθεια ὑψηλῶν πιέσεων ἀερισμοῦ καὶ ὁ σωλήνας κλειστῆς παροχετεύσεως τοῦ θώρακος ἀφαιρέθηκε. Τὰ ζῶα ἀνένηψαν πλήρως ἐπὶ τῆς χειρουργικῆς τραπέζης. Ὑπόθετα παρακε-



Εἰκ. 2α. Μετά τὸ τέλος τῶν χειρισμῶν προκλήσεως τῆς ἀορτικῆς ίσχαιμίας, ἡ κατιοῦσα θωρακικὴ ἀορτὴ εἶναι ἔτοιμη νὰ περιτυλιχθεῖ μὲ τεμάχιο συνθετικοῦ μὴ πορώδους ὄλικοῦ (βλ. κείμενο). Τὰ βέλη δείχνουν τὶς μεσοπλεύριες ἀρτηρίες μετά τὴν ἀπολίνωση καὶ διατομὴ τους.

ταυμόληγς χρησιμοποιήθηκαν γιὰ τὴν μετεγχειρητικὴ ἀναλγησία, ἡ δὲ σίτιση τοῦ ζῶου ἀρχισε ἀπὸ τὴν πρώτη μετεγχειρητικὴ ἡμέρα.

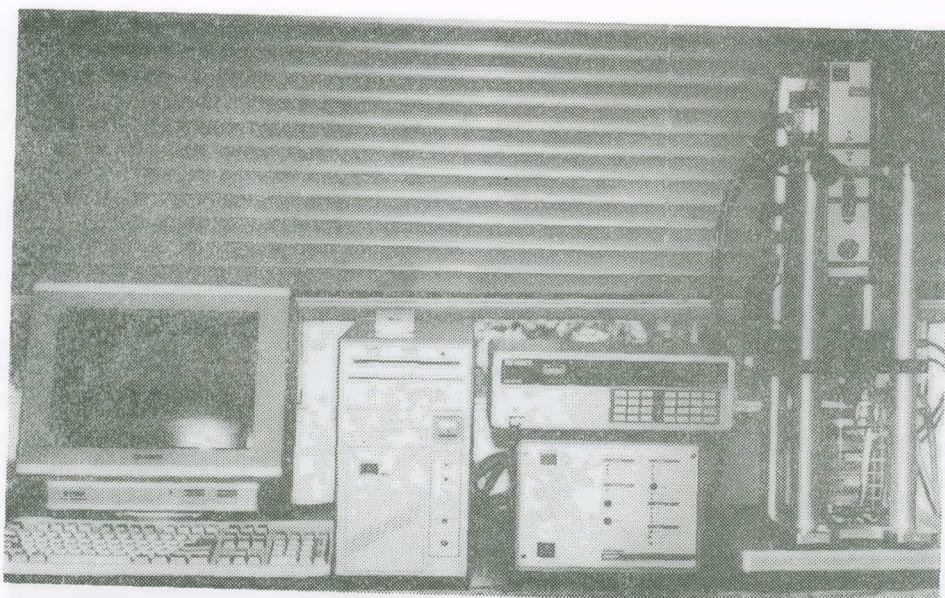
Δέκα πέντε ἡμέρες μετὰ τὴν ἐπέμβαση, τὰ ζῶα ὑποβλήθηκαν σὲ εὐθανασία, μὲ τὴ σταδιακὴ χορήγηση μεγάλων δόσεων νατριούχου πεντοβαρβιτόνης. Διανοίχτηκε ὁ θωρακας μὲ μέση στερνοτομὴ καὶ ἐξαιρέθηκε τὸ ὑπὸ μελέτη τμῆμα τῆς κατιούσης θωρακικῆς ἀορτῆς. Ἐνα μικρὸ τεμάχιο αὐτοῦ μονιμοποιήθηκε σὲ διάλυμα φορμαλ-δεύδης 10%. Τὸ ὑπόλοιπο παρασκεύασμα διαιρέθηκε σὲ ἐπιμήκεις λωρίδες σταθερῶν διαστάσεων ( $2,5 \text{ cm} \times 1,0 \text{ cm}$ ) μὲ τὴ βοήθεια εἰδικῆς συσκευῆς καὶ τοποθετήθηκε σὲ φυσιολογικὸ ὄρο. Ἀκολούθησε ἀμέσως ἡ μηχανικὴ ἀνάλυση τῶν ἀορτικῶν δειγμάτων, τὸ πρωτόκολλο τῆς ὅποιας περιέλαβε τὴ μηχανικὴ προετοιμασία τους, τὶς μετρήσεις δυνάμεως-ἐπιμηκύνσεως καὶ τὴ μέτρηση τοῦ πάχους τους. Ἡ μηχανικὴ προετοιμασία καὶ οἱ μετρήσεις δυνάμεως-ἐπιμηκύνσεως τῶν δειγμάτων πραγματοποιήθηκαν μὲ μονοαξονικὸ ἐφελκυσμὸ στὴν πλήρως αὐτοματοποιημένη συσκευὴ ἐφελκυσμοῦ Vitrodyne 1000 Universal Machine (Liveco Inc, Vermont, USA). Ἡ συσκευὴ χρησιμοποίησε ἔνα φορτίο 5 kg γιὰ τὴ μέτρηση τῆς ἐντατικῆς κατα-



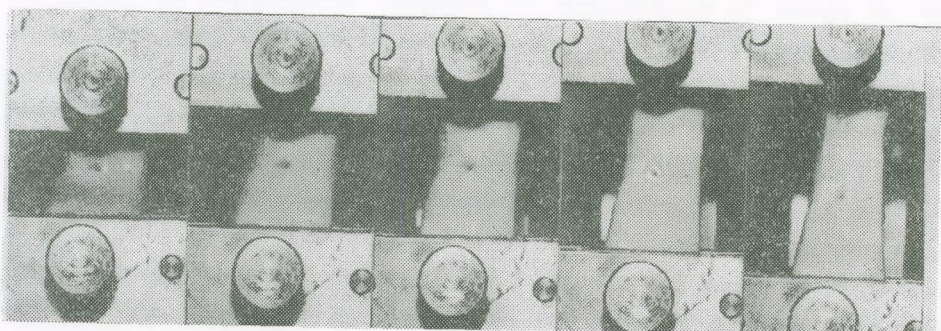
Εἰκ. 2β. Η κατιούσα θωρακική άροτρή μετά τὴν πλήρη περιτύλιξή της μὲ τὸ συνθετικὸ ὑλικό.

στάσεως τῶν δειγμάτων καὶ εἶχε ἐπιπλέον ἐνσωματωμένο ἔνα μετρητὴ τῶν μεταβολῶν τοῦ μήκους. Τὰ ἀποτελέσματα τῶν μετρήσεων καταγράφηκαν ἀπ' εὐθείας στὴ μινήμη ἡλεκτρονικοῦ ὑπολογιστῆ, ποὺ ἦταν συνδεδεμένος μὲ τὴ συσκευή, γιὰ περαιτέρῳ ἐπεξεργασίᾳ καὶ ἀξιολόγηση. Τὸ πάχος τοῦ ἀγγειακοῦ τοιχώματος τῶν δειγμάτων προσδιορίστηκε μὲ εἰδικὴ μικρομετρικὴ συσκευὴ ἀκτίνων laser, εὐαισθησίας 1 μm (laser beam micrometer, LS-3100, Keyence Corp., Osaka, Japan) (Εἰκ. 3). Κατὰ τὴ διάρκεια τῶν μετρήσεων τὰ δείγματα ἦταν ἐμβαπτισμένα σὲ ὑδατόλουτρο μὲ ἵστονο ὑγρὸ καταλλήλου pH καὶ σταθερᾶς θερμοκρασίας 37° C, ὥστε νὰ διατηροῦν τὴν ὑγρασία τους, δεδομένου ὅτι ἡ ἀφυδάτωση τῶν δειγμάτων προκαλεῖ σημαντικὲς ἀλλοιώσεις στὶς μηχανικές τους ίδιότητες. "Ολες οἱ μετρήσεις πραγματοποιήθηκαν σὲ συνθῆκες δωματίου, μὲ θερμοκρασία περιβάλλοντος χώρου  $20 \pm 1^{\circ}$  C.

Τὰ δείγματα καθηλώθηκαν στὶς δύο ἀρπάγες τῆς συσκευῆς ἐφελκυσμοῦ. Η κάτω ἀρπάγη ἦταν σταθερή, ἐνῶ ἡ ἄνω ἀρπάγη ἦταν συνδεδεμένη μὲ ἔνα ἔμβολο, τὸ δόποιο κατὰ τὴν κίνησή του ἀσκοῦσε τάση στὰ δείγματα καὶ τὰ ἐπιμήκυνε μὲ σταθερὸ ρυθμὸ 100 μm/s (Εἰκ. 4). "Αν καὶ οἱ ἀρπάγες προκαλοῦν, κατὰ κανόνα, μιὰ τοπικὴ διαταραχὴ τῆς κατανομῆς τῆς τάσεως στὴν περιοχὴ τῆς ἐπαφῆς τους μὲ τὰ δείγματα, μπορεῖ νὰ θεωρηθεῖ ὅτι μακριὰ ἀπὸ τὶς ἄκρες τῶν δειγμάτων ἡ τάση εἶναι ὁμοιόμορ-



Εἰκ. 3. 'Η πειραματική διάταξη μὲ τὴν ὁποίᾳ πραγματοποιήθηκε ἡ μηχανικὴ ἀνάλυση τῶν ἀορτικῶν δειγμάτων. Δεξιὰ διακρίνεται ἡ συσκευὴ ἐφελκυσμοῦ Vitrodyne 1000, στὴν ὁποίᾳ ἔχει ἐνσωματωθεῖ ἡ μικρομετρικὴ συσκευὴ ἀκτίνων laser γιὰ τὴ μέτρηση τοῦ πάχους τοῦ ἀορτικοῦ τοιχώματος. Ἀριστερὰ διακρίνεται ὁ ἡλεκτρονικὸς υπολογιστής, ἡ σύνδεση τοῦ ὁποίου μὲ τὴ συσκευὴ ἐφελκυσμοῦ ἐπέτρεψε τὴν αὐτόματη ἀποθήκευση καὶ ἐπεξεργασία τῶν μετρήσεων.

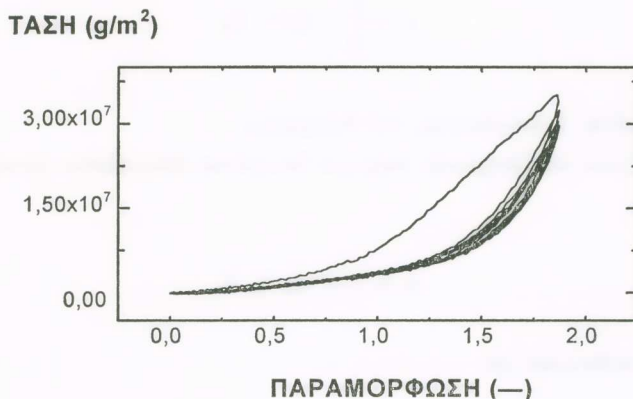


Εἰκ. 4. Διαδοχικὲς φάσεις μονοαξονικοῦ ἐφελκυσμοῦ ἐνὸς ἐκ τῶν ἀορτικῶν δειγμάτων στὴ συσκευὴ Vitrodyne 1000.

φα κατανεμημένη σὲ ὄλοκληρη τὴν ἐπιφάνεια τῆς διατομῆς τοῦ ἴστοῦ. Ἐπειδή, ὁ λόγος μήκους πρὸς πλάτος τῶν δειγμάτων ἦταν μεγάλος, ἔξασφαλίστηκε ὅμοιόμορφη κατανομὴ τῆς τάσεως στὸν ὑπὸ μελέτη ἀορτικὸν ἴστον. Ἐπιπλέον, γιὰ τὴ σταθεροποίηση τῶν δειγμάτων στὶς ἀρπάγες χρησιμοποιήθηκαν μικρὰ τεμάχια ἀντιολισθη-

τικοῦ χάρτου, γιατί νὰ ἀποφευχθεῖ ἡ ὀλίσθηση τῶν δειγμάτων κατὰ τὴ διάρκεια τοῦ ἐφελκυσμοῦ. Τυχὸν μικροολισθήσεις ποὺ εἶναι δυνατὸν νὰ συνέβησαν, δὲν ἐπηρέασαν τὶς μετρήσεις, ἐπειδὴ τόσο τὸ ἀρχικὸ μῆκος τῶν δειγμάτων, ὅσο καὶ οἱ τελικὲς παραμορφώσεις τους ἦταν πολὺ μεγαλύτερες τῶν πιθανῶν μικρῶν κινήσεών τους μέσα στὶς ἀρπάγες.

Ἡ μηχανικὴ προετοιμασία τοῦ ὑλικοῦ στὴ συσκευὴ ἐφελκυσμοῦ ἔγινε μὲ 10 μονοαξονικούς ἐντατικούς κύκλους, μὲ σταθερὸ τελικὸ ἐπίπεδο παραμορφώσεως.



Σχῆμα 2. Τυπικές καμπύλες τάσεως-παραμορφώσεως ποὺ παρήγθησαν κατὰ τὴ μηχανικὴ προετοιμασία τῶν ἀορτικῶν δειγμάτων στὴ συσκευὴ ἐφελκυσμοῦ, μὲ 10 μονοαξονικούς ἐντατικούς κύκλους καὶ σταθερὸ τελικὸ ἐπίπεδο παραμορφώσεως. Οἱ καμπύλες εἶναι ἐνδεικτικές τοῦ φαινομένου τῆς ὑστερήσεως.

Ἡ διαδικασία αὐτὴ ἦταν ἀπαραίτητη γιὰ τὴν ἔξαλειψη πιθανῶν φαινομένων ὑστερήσεως (Σχῆμα 2). Ἀκολούθησαν οἱ μετρήσεις δυνάμεως-ἐπιμηκύνσεως, μὲ τὶς ὁποῖες μελετήθηκαν οἱ ἐλαστικὲς ἴδιοτητες τοῦ ἀορτικοῦ τοιχώματος. Μετρήθηκαν τὸ ἀρχικὸ μῆκος ( $l_0$ ), τὸ πλάτος ( $w_0$ ) καὶ τὸ πάχος ( $t_0$ ) τῶν δειγμάτων καὶ ἐν συνεχείᾳ τὰ δείγματα ὑποβλήθηκαν σὲ μονοαξονικὸ ἐφελκυσμὸ κατὰ τὴ διάρκεια τοῦ ὁποίου, καὶ μὲ συχνότητα 50 μετρήσεων ἀνὰ δευτερόλεπτο (50 Hz), μετρήθηκαν αὐτομάτως ἀπὸ τὴν πειραματικὴ διάταξη ἡ ἐπιμήκης δύναμη ( $F$ ) ποὺ ἀσκεῖτο στὰ δείγματα καὶ τὸ μῆκος ( $l$ ) αὐτῶν. Οἱ μετρήσεις αὐτὲς καταγράφηκαν ἀπ’ εύθειας στὸν ἡλεκτρονικὸ ὑπολογιστὴ καὶ μὲ τὴ βοήθεια τοῦ μαθηματικοῦ-ὑπολογιστικοῦ προγράμματος MicroCal Origin 2.8 (MicroCal Software Inc., Northampton, Massachusetts, USA) ὑπολογίστηκαν αὐτομάτως ἡ τάση καὶ ἡ παραμόρφωση τῶν ἀορτικῶν δειγμάτων κατὰ τὸν ἐπιμήκη ἄξονα καὶ πραγματοποιήθηκε ἡ χάραξη τῶν ἀν-

τιστοίχων καμπυλῶν (stress-strain curves). Για τὸν ὑπολογισμὸν τῆς τάσεως ( $\sigma$ ) καὶ παραμορφώσεως Green ( $\gamma$ ) χρησιμοποιήθηκαν οἱ ἀκόλουθες σχέσεις:

$$\sigma = \frac{F}{w \cdot t}, \quad (1)$$

ὅπου  $F$  εἶναι ἡ ἀσκούμενη στὸ δεῖγμα δύναμη καὶ

$$\gamma = \frac{1}{2} \cdot (\lambda^2 - 1), \quad (2)$$

ὅπου  $\lambda = l/l_0$  εἶναι ἡ ἐπιμήκυνση τοῦ δείγματος.

Ἐπειδὴ ὅμως τὸ ἀρτηριακὸ τοίχωμα θεωρεῖται ἀσυμπίεστο ὑλικὸ καὶ ἴσχύει ἡ σχέση

$$w \cdot t \cdot l = w_0 \cdot t_0 \cdot l_0,$$

ἡ σχέση (1) ἴσοδυναμεῖ μέ:

$$\sigma = \frac{F \cdot l}{w_0 \cdot t_0 \cdot l_0} = \frac{F}{w_0 \cdot t_0} \cdot \lambda \quad (3)$$

Βάσει αὐτῶν, ὑπολογίστηκε τὸ μέτρο ἐλαστικότητος ( $E$ ) τοῦ ἀορτικοῦ τοιχώματος ὡς ἡ πρώτη παράγωγος τῆς τάσεως ( $\sigma$ ) πρὸς τὴν παραμόρφωση ( $\gamma$ ):

$$E = \frac{\partial \sigma}{\partial \gamma} \quad (4)$$

Ο ὑπολογισμὸς ἔγινε μέσω τῆς ἀναλύσεως τῆς εὐθύγραμμης παλινδρομήσεως (linear regression analysis).

Γιὰ τὴ στατιστικὴ ἐπεξεργασία τῶν δεδομένων χρησιμοποιήθηκε ἡ δοκιμασία τῆς ἀναλύσεως τῆς μεταβλητότητος (analysis of variance). Σὲ ὅλους τοὺς ὑπολογισμοὺς κάθε τιμὴ τοῦ  $p < 0,05$  θεωρήθηκε ὡς στατιστικῶς σημαντική. Στὰ τελικὰ ἀποτελέσματα τῆς μηχανικῆς ἀναλύσεως παρουσιάζεται ἡ μέση τιμὴ τῶν μετρήσεων μὲ τὴν προσθαφαίρεση ἐνὸς σταθεροῦ σφάλματος (mean  $\pm 1$  SEM).

Μετὰ τὸ τέλος τῶν δοκιμασιῶν ἐφελκυσμοῦ, καὶ τὰ ὑπόλοιπα τεμάχια τῆς κα-

τιούσης θωρακικής άορτής μονιμοποιήθηκαν σε διάλυμα φορμαλδεύδης 10%. Αφού παρέμειναν στο μονιμοποιητικό ύγρό για τουλάχιστον 24 ώρες, τὰ δείγματα ἐμπεδώθηκαν σε παραφίνη, κόπηκαν σε τομὲς τῶν 5 μμ καὶ χρωματίστηκαν μὲ αίματο-ξυλίνη-ἡωσίνη, Verhoef's elastică καὶ τρίχρωμη χρώση Masson. Η ιστολογική τους ἔξεταση ἔγινε μὲ μικροσκόπιο φωτὸς Zeiss, σε μεγεθύνσεις  $\times 25 - \times 240$ .

#### ΑΠΟΤΕΛΕΣΜΑΤΑ

a. *Νεκροτομικὰ ενδήματα καὶ μακροσκοπικὲς παρατηρήσεις.* "Ολα τὰ ζῶα ἀνένηψαν ἵκανοποιητικῶς ἀπὸ τὴν ἐπέμβαση καὶ παρέμειναν σε πολὺ καλὴ κατάσταση, χωρὶς σημεῖα λοιμώξεως ή ἄλλης παθολογίας, ἔως τὴν ἡμέρα τῆς εὐθανασίας των. Κατὰ τὴν νεκροτομή, σὲ ὅλα τὰ ζῶα εὑρέθησαν χαλαρὲς συμφύσεις τοῦ ἀριστεροῦ πνεύμονος πρὸς τὸ θωρακικὸ τοίχωμα ἀντιστοίχως πρὸς τὸ σημεῖο τῆς θωρακοτομῆς.

*Στὰ ζῶα τῆς ὁμάδος B (μάρτυρες), ἡ κατιοῦσα θωρακικὴ ἀορτὴ κρίθηκε μακρο-*



Εἰκ. 5. Τυπικὴ νεκροτομικὴ εἰκόνα τῆς κατιούσης θωρακικῆς ἀορτῆς στὰ πειραματόζωα τῆς ὁμάδος A. Διακρίνεται ἡ ἔντονη ἴνωση ποὺ ἔχει ἀναπτυχθεῖ πέριξ τοῦ ἀνω τμήματος τῆς κατιούσης θωρακικῆς ἀορτῆς 15 ἡμέρες μετὰ ἀπὸ τὴν ἀποψίλωση αὐτοῦ ἀπὸ τὸν περιαορτικὸ ίστὸ καὶ τὴ διατομὴ τῶν μεσοπλευρίων ἀρτηριῶν. Περιφερικότερα ἡ ἀορτὴ ἐμφανίζεται φυσιολογική.

σκοπικῶς φυσιολογική, τόσο κατά τὴ διάρκεια τῆς νεκροτομῆς, ὅσο καὶ κατὰ τὴ διάρκεια τῆς ἀφαιρέσεως καὶ τῆς προετοιμασίας τῶν δειγμάτων γιὰ τὴ μηχανική τους ἀνάλυση.

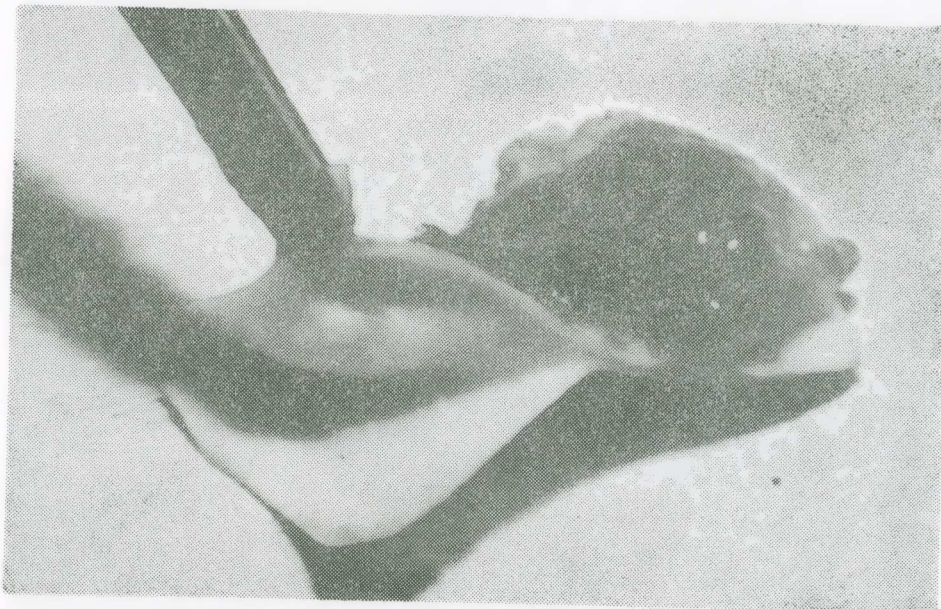
Κατὰ τὴ νεκροτομὴ τῶν ζώων τῆς ὁμάδος A, τὸ τμῆμα τῆς κατιούσης θωρακικῆς ἀορτῆς, ἐπὶ τοῦ ὄποιου εἶχαν προηγγηθεῖ οἱ χειρουργικοὶ χειρισμοὶ ποὺ περιεγράφησαν ἀνωτέρω, βρέθηκε νὰ περιβάλλεται ἀπὸ ἵκανη ποσότητα ἴνώδους συνδετικοῦ ἰστοῦ μέσω τοῦ ὄποιου συνεφύετο μὲ τὰ πέριξ ἀνατομικὰ στοιχεῖα (Εἰκ. 5). Μέσα στὴν ἴνωδη αὐτὴ περιαορτικὴ κάψα καὶ μεταξὺ αὐτῆς καὶ τοῦ ἀορτικοῦ τοιχώματος, βρέθηκε τὸ τεμάχιο τοῦ συνθετικοῦ ύλικου μὲ τὸ ὄποιο εἶχε περιτυλιχτεῖ ἡ ἀορτὴ διεγχειρητικῶς. Τὸ ύλικὸ αὐτὸ εἶχε ἀποτρέψει τὴν ἐπαφὴ τοῦ ὑπὸ μελέτη ἀορτικοῦ τοιχώματος μὲ τοὺς πέριξ ἰστοὺς καὶ τὸ εἶχε διατηρήσει ἀνέπαφο ἀπὸ διεργασίες ἀναπτύξεως νεοαγγείων καὶ ἴνώδους ἰστοῦ, ποὺ πιθανῶς θὰ μποροῦσαν νὰ ἐπηρεάσουν τὴν ἐπιδιωκόμενη ἀορτικὴ ἴσχαιμία καὶ κατ’ ἐπέκταση τὶς μηχανικὲς ἴδιότητες τοῦ ἀορτικοῦ τοιχώματος (Εἰκ. 6). Κατ’ αὐτὸν τὸν τρόπο, τὸ ὑπὸ μελέτη τμῆ-



Εἰκ. 6. Νεκροτομικὴ εἰκόνα τῆς κατιούσης θωρακικῆς ἀορτῆς στὸ πειραματόζω τῆς Εἰκ. 5 μετὰ τὴν ἀφαίρεση τοῦ ἴνώδους ἰστοῦ. Ἡ ἀφαίρεση αὐτὴ ἔγινε εὔκολα χωρὶς τὸν τραυματισμὸ τοῦ ὑποκείμενου ἀορτικοῦ τοιχώματος, καθὼς μεταξὺ τοῦ ἴνώδους ἰστοῦ καὶ τῆς ἀορτῆς παρεμβάλλετο τὸ συνθετικὸ ύλικὸ (nylon) ποὺ διακρίνεται στὴ φωτογραφία.

μα τῆς θωρακικῆς ἀορτῆς παρασκευάστηκε μὲν ἔξαιρετική εύκολία, χωρὶς χειρισμοὺς πού δυνητικῶς θὰ προκαλοῦσαν τραυματισμὸν καὶ ἀλλοίωση τῆς μηχανικῆς του συμπεριφορᾶς.

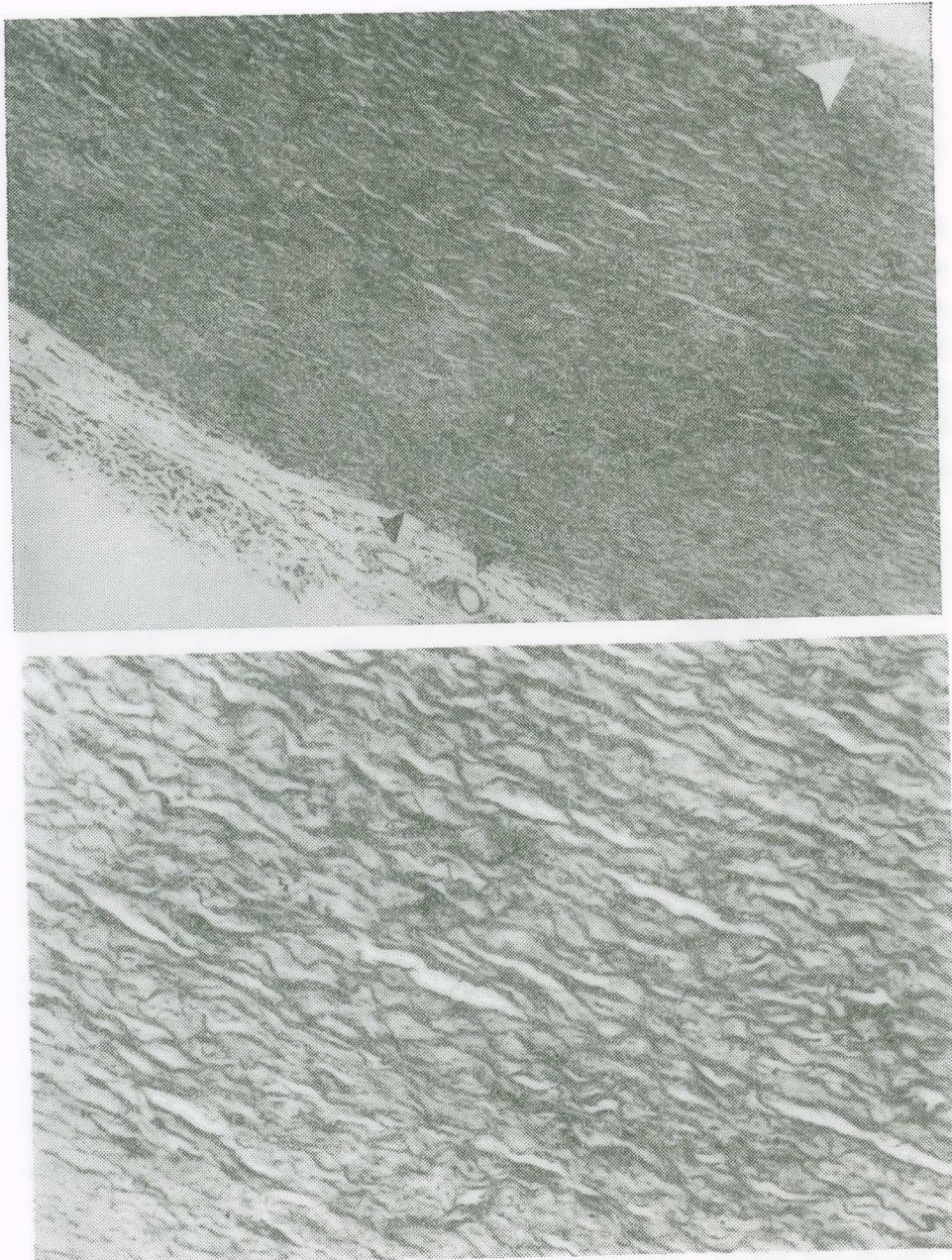
Κατὰ τὴ διάρκεια τῆς προετοιμασίας τῶν δειγμάτων γιὰ τὴ μηχανική τους ἀνάλυση, παρατηρήθηκε ὅτι τὸ ἀορτικὸ τοίχωμα δὲν ἦταν ὁμοιογενὲς σὲ ὅλο τοῦ τὸ πάχος, ἀλλὰ ἔδινε τὴ μακροσκοπικὴ ἐντύπωση ὑπάρχειας δύο στοιβάδων ἰστοῦ, ἵσου περίπου πάχους, ὡς ἐπὶ ἀρχόμενου ἀορτικοῦ διαχωρισμοῦ. Ἡ ἐντύπωση αὐτὴ ἦταν πλέον σαφὴς μετὰ τὸν ἀρχικὸ ἐφελκυσμὸ τοῦ ὄλικοῦ γιὰ τὴ μηχανικὴ του προετοιμασία. Οἱ δύο αὐτὲς στοιβάδες ἦταν εύκολο νὰ ἀποκολληθοῦν μεταξύ των μὲν ἥπια ἔλξη, δημιουργώντας κατ' αὐτόν τὸν τρόπο τυπικὸ διαχωρισμὸ τοῦ ἀορτικοῦ τοιχώματος (Εἰκ. 7).



Εἰκ. 7. Μακροσκοπικὴ εἰκόνα διαχωρισμοῦ τοῦ ἀορτικοῦ μέσου χιτῶνος στὰ πειραματόζωα τῆς ὁμάδος Α (βλ. κείμενο).

### β. Ἰστολογικὴ ἐξέταση

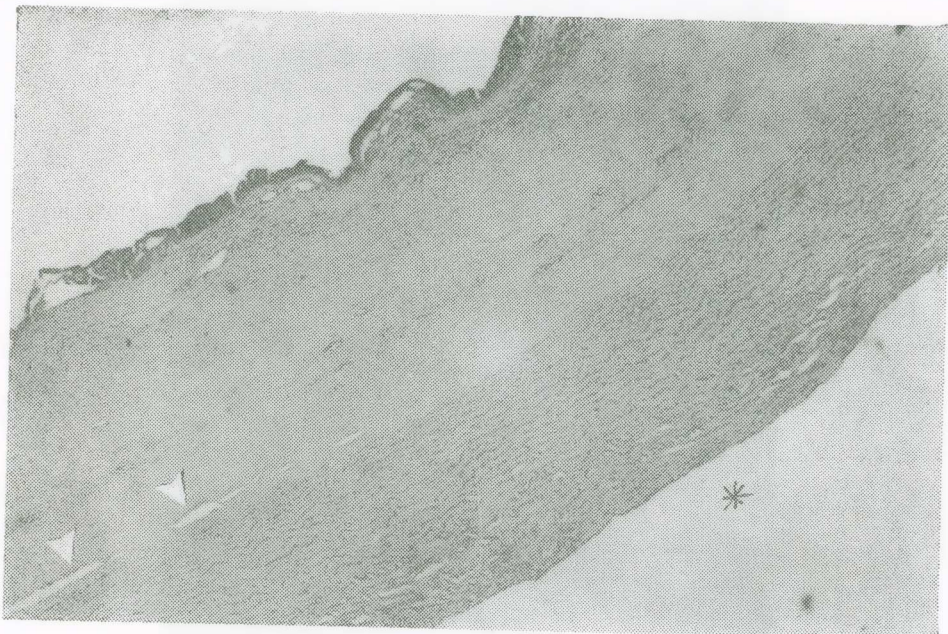
Ἡ μικροσκοπικὴ ἀρχιτεκτονικὴ τοῦ τοιχώματος τῆς κατιούσης θωρακικῆς ἀορτῆς στὴν ὁμάδα Β (τῶν μαρτύρων) ἦταν φυσιολογικὴ. Σὲ ὅλο τὸ εὖρος τοῦ ἀορτικοῦ μέσου χιτῶνος παρατηρήθηκε ἡ τυπικὴ παράλληλη διάταξη συγκεντρικῶν ὁμοιογενῶν πετάλων ἐλαστίνης, τὰ δόποια ἀφ' ἐνὸς παρουσίαζαν ἐντονη πτύχωση καὶ



Εἰκ. 8. Ιστολογική εικόνα τοῦ ἀορτικοῦ τοιχώματος ἐνδὲ ἐκ τῶν πειραματοζώων τῆς δημάδος Β μαρτύρων. Ἡ μικροσκοπικὴ δρχιτεκτονικὴ ἐμφανίζεται φυσιολογική, μὲ ἔντονη κυματοειδὴ διαμόρφωση τῶν ίνῶν ἐλαστίνης καὶ κολλαγόνου καὶ λεῖα μυϊκὰ κύτταρα σὲ δόλο τὸ πάχος τοῦ μέσου χιτῶνος. (α) Τὸ λευκὸ βέλος δείχνει τὸν ἀορτικὸν αὐλό. Ἐπὶ τῶν ἐκτὸς τοῦ μέσου χιτῶνος διακρίνεται ἔξω χιτώνας καὶ δὲ περιαορτικὸς ιστὸς ποὺ φέρουν τὰ vasa vasorum (μαύρα βέλη) [χρώση αίματοξυλίνης-ἡωσίνης,  $\times 75$ ]. (β) Ἡ ιστολογικὴ τομὴ τῆς Εἰκ. 8α σὲ μεγαλύτερη μεγέθυνση [χρώση αίματοξυλίνης-ἡωσίνης,  $\times 200$ ].

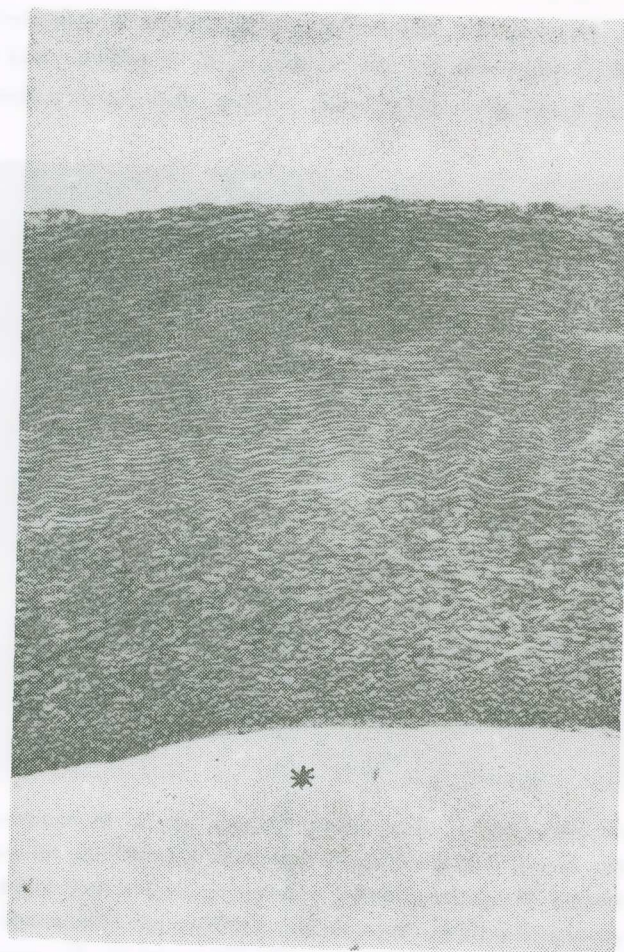
ἀφ' ἑτέρου ἀφίσταντο μεταξύ των, σχηματίζοντας μεσοδιαστήματα ἵκανοῦ εὔρους πληρούμενα ἀπὸ κολλαγόνο, λεῖα μυϊκὰ κύτταρα, λεπτὰ ἴνιδια ἐλαστίνης καὶ θεμέλια οὐσία ἀπὸ πρωτεογλυκάνες. Στὸν ἔξω χιτώνα καὶ τὸν περιαρτικὸν ἴστὸν παρατηρήθηκαν μικροσκοπικὰ ἀγγεῖα (vasa vasorum) (Εἰκ. 8α, 8β).

Ἡ ἴστολογικὴ ἔξέταση τῶν ἀορτικῶν δειγμάτων τῆς ὁμάδος A ἔδειξε πλήρη ἀποψίλωση τοῦ περιαρτικοῦ ἴστοῦ ἀπὸ τὰ vasa vasorum, χωρὶς σημεῖα τραυματισμοῦ ή αίμορραγίας τοῦ ὑποκειμένου ἀορτικοῦ τοιχώματος ή ἐνδείξεις νεοαγγειώσεως. Τὸ ἔσω τριτημόριο τοῦ ἀορτικοῦ μέσου χιτῶνος δὲν παρουσίασε ἀξιόλογες μεταβολές τῆς ἀρχιτεκτονικῆς του, προφανῶς λόγω τῆς ἐπαρκοῦς τροφοδοσίας του μὲ διαγόνο καὶ θρεπτικὰ συστατικὰ ἀπὸ τὸν ἀορτικὸν αὐλό. Ἀντιθέτως, στὰ δύο ἔξω τριτημόρια τοῦ μέσου χιτῶνος παρατηρήθηκαν μείζονες δομικὲς δὲλλοιώσεις, οἱ ὅποιες

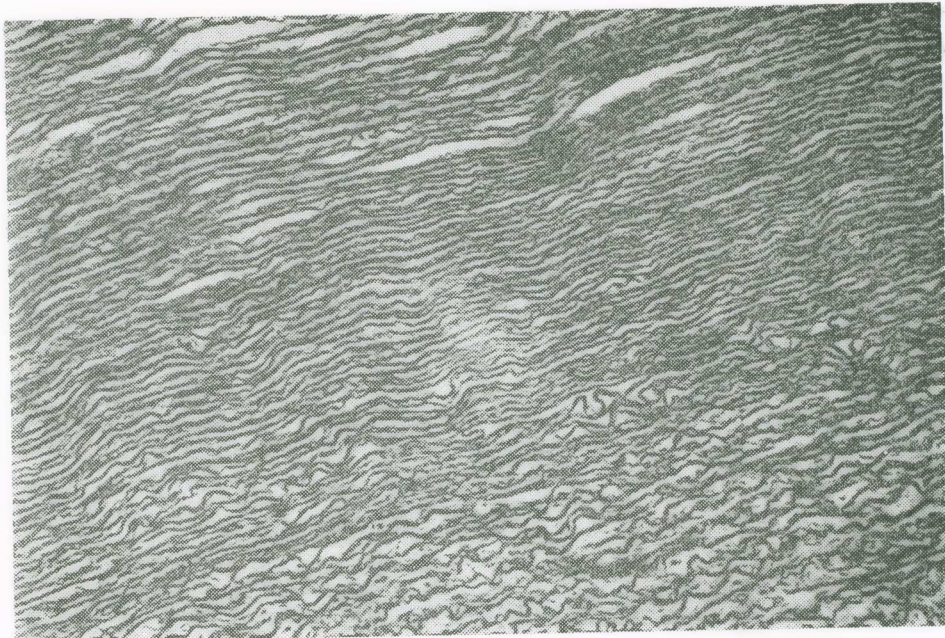


Εἰκ. 9. Ἱστολογικὴ εἰκόνα ἰσχαιμικοῦ ἀορτικοῦ τοιχώματος ἐνδὸς ἐκ τῶν πειραματοζώων τῆς ὁμάδος A (διάστερίσκος δείχνει τὸν ἀορτικὸν αὐλό). Διακρίνεται ἡ ἀποψίλωση τοῦ περιαρτικοῦ ἴστοῦ καὶ τῶν vasa vasorum. Διακρίνεται ἐπίσης ἡ φυσιολογικὴ μικροσκοπικὴ ἀρχιτεκτονικὴ τοῦ ἔσω τριτημορίου τοῦ μέσου χιτῶνος, ὅπου εἶναι ἐμφανεῖς οἱ πυρῆνες τῶν λείων μυϊκῶν κυττάρων καὶ ἡ κυματοειδῆς διαμόρφωση τῶν πετάλων ἐλαστίνης. Ἀντιθέτως, στὰ δύο ἔξω τριτημόρια τοῦ μέσου χιτῶνος παρατηρεῖται ἡ παντελής ἔλλειψη κυτταρικῶν στοιχείων (ἐνδεικτικὴ τῆς ἰσχαιμικῆς νεκρώσεως), καθὼς καὶ ὁ εὐθειασμὸς καὶ ἡ προσέγγιση τῶν ἐλαστικῶν πετάλων. Τὸ δριο μεταξύ τῶν δύο περιοχῶν εἶναι ἔξαιρετικῶς σαφὲς καὶ ἀποτελεῖ τὸ σημεῖο ἀπαρχῆς ἀορτικοῦ διαχωρισμοῦ (λευκὴ βέλη) [βλ. Εἰκ. 7] [χρώση αίματοξυλίνης-ἡωσίνης, × 50].

συνίσταντο σὲ ἐκτεταμένη ἴσχαιμική νέκρωση (ἔμφρακτο), μὲ δραματικὴ μείωση ἢ ἔξαφάνιση τῶν λείων μυϊκῶν κυττάρων, προφανῶς ὡς ἀποτέλεσμα τῆς διακοπῆς τῆς αἵματικῆς ροῆς διὰ τῶν vasa vasorum (Εἰκ. 9). Ἡ ἀπώλεια τῶν μυϊκῶν κυττάρων συνοδεύτηκε ἀπὸ δραματικὴ μείωση ἀφ' ἐνὸς τοῦ κυματοειδοῦς χαρακτῆρος τῶν πετάλων ἐλαστίνης καὶ ἀφ' ἑτέρου τῶν διαστημάτων μεταξὺ τῶν πετάλων αὐτῶν (Εἰκ. 9, 10α, β). Τὸ δριό μεταξὺ τοῦ ἕσω τμήματος τοῦ μέσου χιτῶνος, τὸ δποῖο ἐτρέφετο ἵκανοποιητικῶς καὶ εἶχε ἀναλλοίωτη ἀρχιτεκτονικὴ καὶ τοῦ ἴσχαιμικοῦ καὶ ἰστο-



Εἰκ. 10. Ἰστολογικὴ εἰκόνα ἴσχαιμικοῦ ἀορτικοῦ τοιχώματος μὲ εἰδικὴ χρώση Verhoeff's elasticica γιὰ τὴν ἐλαστίνη. Εἶναι ἔμφανής ἡ δραματικὴ μεταβολὴ τῆς διαμορφώσεως τῶν ἐλαστικῶν ἵνῶν στὸ ἴσχαιμικὸ τμῆμα τοῦ ἀορτικοῦ τοιχώματος (βλ. κείμενο). (α)  $\times 60$ . Ὁ ἀστερίσκος δείχνει τὸν ἀορτικὸ αύλα. (β)  $\times 150$ .



Εἰκ. 10β.

λογικώς άλλοιωμένου εξώ τμήματος τοῦ μέσου χιτῶνος, ήταν ἀπολύτως σαφές καὶ ἡ μετάπτωση ἀπὸ τὸ ἔνα τμῆμα στὸ ἄλλο ήταν αἰφνίδια. Σὲ δρισμένες τομές, στὸ ὅριο μεταξὺ τῶν δύο τμημάτων εἶχε ἐπέλθει μικροσκοπικὸς διαχωρισμὸς τοῦ ἀορτικοῦ τοιχώματος (Εἰκ. 9). Εἶναι προφανὲς ὅτι τὰ δύο αὐτὰ τμήματα τοῦ ἀορτικοῦ τοιχώματος ἀντιστοιχοῦν στὶς δύο στοιβάδες τοῦ τοιχώματος ποὺ παρατηρήθηκαν μακροσκοπικῶς καὶ περιεγράφησαν ἀνωτέρω.

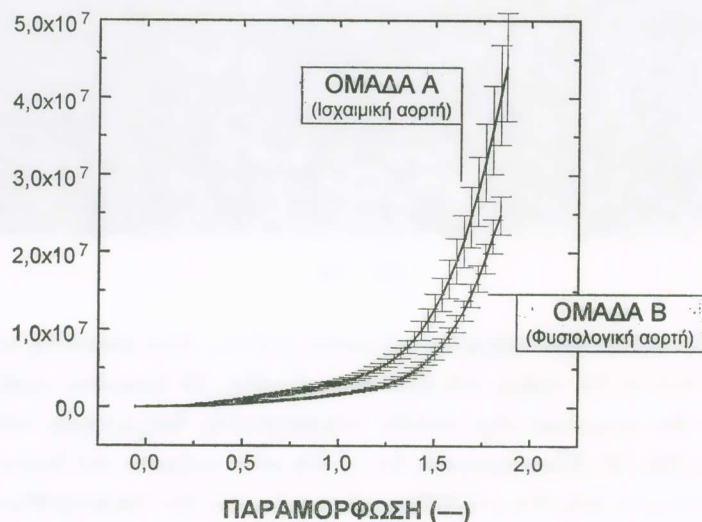
#### γ. Μηχανικὴ ἀνάλυση

Τὸ σχῆμα 3 ἀποτελεῖ τὴν συγκεντρωτικὴν καμπύλην τάσεως-παραμορφώσεως γιὰ κάθε ὁμάδα χοίρων (Α καὶ Β) μετὰ ἀπὸ τὴν μηχανικὴν ἀνάλυσην ὅλων τῶν δειγμάτων. Εἶναι ἐμφανὲς ὅτι τὰ ἐλαστικὰ χαρακτηριστικὰ τῶν ἀορτικῶν δειγμάτων διαφέρουν σὲ σημαντικὸ βαθμὸ μεταξὺ τῆς πειραματικῆς ὁμάδος καὶ τῆς ὁμάδος τῶν μαρτύρων. Οἱ καμπύλες τάσεως-παραμορφώσεως ὑποδηλώνουν ὅτι τὸ τοίχωμα τῆς κατιούσης θωρακικῆς ἀορτῆς εἶναι πλέον δύσκαμπτο στὴν ὁμάδα Α, δηλαδὴ μετὰ τὴν διακοπὴ τῆς αίματώσεως του ἀπὸ τὰ vasa vasorum.

Γιὰ τὴν ποσοτικὴ μέτρηση τοῦ βαθμοῦ αὔξησεως τῆς ἀορτικῆς δυσκαμψίας ὑπολογίστηκε τὸ μέτρο ἐλαστικότητος τῶν ἀορτικῶν δειγμάτων. Ἐπειδὴ τὸ ἀορτικό

τοίχωμα δὲν ύπακουει στὸ γραμμικὸ νόμο παραμορφώσεως τῶν ἐλαστικῶν σωμάτων (νόμος τοῦ Hooke), ἡ ἐλαστικὴ συμπειριφορά του δὲν ἥταν δυνατὸν νὰ ἀποδοθεῖ μὲν ἔνα μέτρο ἐλαστικότητος. Οἱ καμπύλες τάσεως-παραμορφώσεως τῆς ἀορτῆς θεωρήθηκαν ὡς διγραμμικές καὶ ὡς ἐκ τούτου ἡ ἐλαστικὴ συμπειριφορά τοῦ ἀορτικοῦ τοιχώματος προσεγγίστηκε ἵκανοποιητικῶς μὲ τὸν ὑπολογισμὸ δύο μέτρων ἐλαστικότητος, ἐνὸς γιὰ τὸ κάθε γραμμικὸ τμῆμα τῆς καμπύλης. Ἀπὸ τοὺς ὑπολογισμοὺς προέκυψε ὅτι τὸ μέτρο ἐλαστικότητος στὸ μὲν ἀρχικὸ τμῆμα τῆς καμπύλης αὐξή-

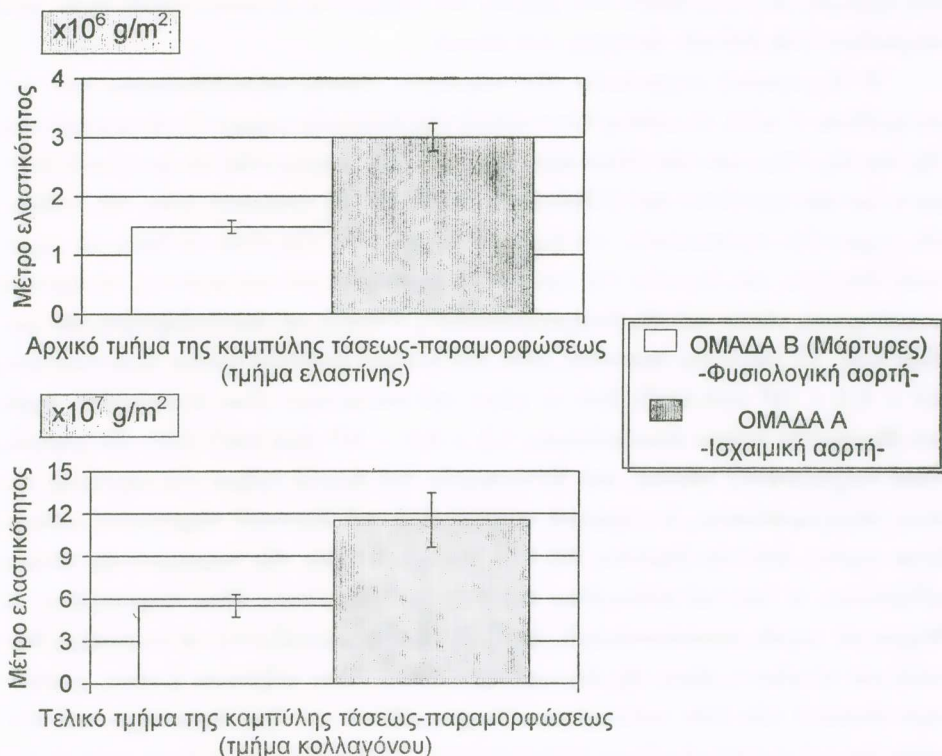
### ΤΑΣΗ ( $\text{g}/\text{m}^2$ )



Σχῆμα 3. Οἱ συγκεντρωτικές καμπύλες τάσεως-παραμορφώσεως γιὰ τὴν πειραιματικὴ δύμαδα (A) καὶ τὴν δύμαδα ἐλέγχου (B). Οἱ ράβδοι σφάλματος (error bars) ὑποδηλῶνται τὴν προσθαφάρεση ἐνὸς σταθεροῦ σφάλματος (standard error) στὴν ἐκάστοτε μέση τιμὴ τῶν μετρήσεων.

θηκε ἀπὸ  $(1,477 \pm 0,108) \times 10^6 \text{ g}/\text{m}^2$  στὴ φυσιολογικὴ ἀορτὴ (δύμαδα B) σὲ  $(2,997 \pm 0,238) \times 10^6 \text{ g}/\text{m}^2$  στὴν ἰσχαιμικὴ ἀορτὴ (δύμαδα A) ( $p = 0,00008$ ), στὸ δὲ τελικὸ τμῆμα τῆς καμπύλης αὐξήθηκε ἀπὸ  $(55,021 \pm 7,984) \times 10^6 \text{ g}/\text{m}^2$  στὴ φυσιολογικὴ ἀορτὴ σὲ  $(115,542 \pm 19,277) \times 10^6 \text{ g}/\text{m}^2$  στὴν ἰσχαιμικὴ ἀορτὴ ( $p = 0,02491$ ) (Σχῆμα 4). Συνεπῶς, ἡ ἰσχαιμία τοῦ ἀορτικοῦ τοιχώματος ποὺ προκλήθηκε ἀπὸ τὴ διακοπὴ τῆς αἵματώσεώς του διὰ τῶν vasa vasorum δδήγησε σὲ αὔξηση τῆς δυσκαμψίας του κατὰ 2,1 φορὲς περίπου. "Οπως προκύπτει ἀπὸ τὴν τιμὴ τῶν μέτρων ἐλαστικότητος ἀλλὰ καὶ ἀπὸ τὴ μορφολογία τῶν καμπυλῶν τάσεως -

παραμορφώσεως, ή ισχαιμική κατιούσα θωρακική άορτή είναι όχι μόνον πλέον δύσκαμπτη της φυσιολογικής, άλλα και αύξηση αύτη της δυσκαμψίας της είναι όμοιό μορφη σε όλο τὸ φάσμα τῶν τάσεων καὶ παραμορφώσεων, τόσο σὲ χαμηλότερες ὅσο καὶ σὲ ψηλότερες ἀπὸ τις *in vivo* πιέσεις.



Σχῆμα 4. Σχηματική παράσταση τῆς αύξησεως τοῦ μέτρου έλαστικότητος στὸ ισχαιμικὸ ἀορτικὸ τοίχωμα, (α) στὸ ἀρχικὸ τμῆμα τῆς καμπύλης τάσεως-παραμορφώσεως, ποὺ ἔξαρτᾶται κυρίως ἀπὸ τὴν έλαστίνη καὶ (β) στὸ τελικὸ τμῆμα τῆς καμπύλης τάσεως-παραμορφώσεως, ποὺ ἔξαρτᾶται κυρίως ἀπὸ τὸ κολλαγόνο. Είναι ἐμφανῆς ἡ ὄμοτιμη αύξηση τοῦ μέτρου έλαστικότητος στὰ δύο τμήματα τῆς διγραμμικῆς καμπύλης.

#### ΣΥΖΗΤΗΣΗ

##### a. Σχολιασμὸς τῶν ἀποτελεσμάτων

Ἡ παροῦσα μελέτη ἐπιβεβαίωσε τὰ εύρήματα προγενέστερων μελετῶν τοῦ Ἐργαστηρίου μας συμφώνως πρὸς τὰ ὅποια ἡ ισχαιμία τοῦ μέσου χιτῶνος τῆς θωρα-

κικῆς ἀορτῆς, ὡς ἀποτέλεσμα τῆς μειώσεως τῆς αἱματικῆς παροχῆς διὰ τῶν vasa vasorum, προκαλεῖ μεταβολές τῆς διατασιμότητός της [22, 23]. Ἡ παροῦσα μελέτη ἀπέδειξε ὅτι ἡ δυσκαμψία τοῦ ἀορτικοῦ τοιχώματος αὐξάνεται περίπου στὸ διπλάσιο, ὅχι μόνον ἐντὸς τοῦ περιορισμένου φάσματος τῆς τάσεως ποὺ ἀσκεῖται στὸ ἀορτικὸ τοίχωμα *in vivo*, ἀλλὰ σὲ ἔνα εὑρύτατο φάσμα τάσεων καὶ παραμορφώσεων ποὺ ἀρχίζουν ἀπὸ τὸ ἐπίπεδο τοῦ μηδενὸς καὶ ἀνέρχονται σὲ πολὺ ὑψηλές τιμές, ποὺ πλησιάζουν στὸ ἐπίπεδο ἀστοχίας τοῦ ὑλικοῦ.

Ἡ διγραμμικὴ μορφολογία τῶν καμπυλῶν τάσεως-παραμορφώσεως ποὺ παρατηρήθηκε σ' αὐτὴ τὴ μελέτη ἥταν τυπικὴ τῆς ἐντατικῆς μηχανικῆς ἀνταποκρίσεως τῆς ἀορτῆς, ὅπως καὶ τῶν ἄλλων ἀρτηριῶν, καὶ ἔχει τεκμηριωθεῖ σὲ ἀρτηριακὰ δείγματα ζωικῶν προτύπων καὶ ἀνθρώπων [36-39]. Ἡ μὴ γραμμικὴ φύση τῆς παθητικῆς μηχανικῆς συμπεριφορᾶς τοῦ ἀορτικοῦ τοιχώματος ἔξηγεῖται μὲ βάση τὶς μηχανικές ἰδιότητες τῶν δομικῶν του πρωτεϊνῶν (έλαστινης καὶ κολλαγόνου), τὴ σχετικὴ συγκέντρωση αὐτῶν καὶ τὴν ὑπερμικροσκοπικὴ διάταξην καὶ ἀλληλεξάρτηση τῶν μορίων τους. Τὸ μόριο τῆς ἔλαστίνης εἶναι ἔξαιρετικῶς ἔλαστικό (μέτρο ἔλαστικότητος  $2,8 \pm 0,4 \times 10^6$  dyn/cm<sup>2</sup>), ἐνῶ τὸ μόριο τοῦ κολλαγόνου εἶναι ἐκαποντάδες φορὲς πιὸ δύσκαμπτο (μέτρο ἔλαστικότητος  $1,2 \pm 0,1 \times 10^9$  dyn/cm<sup>2</sup>) [49]. Σὲ χαμηλές τιμές τοιχωματικῆς τάσεως, ποὺ ἀντιστοιχοῦν στὸ ἀρχικὸ τμῆμα τῆς καμπύλης τάσεως-παραμορφώσεως, ἡ μηχανικὴ συμπεριφορὰ τοῦ ἀορτικοῦ τοιχώματος καθορίζεται κυρίως ἀπὸ τὴν ἔλαστίνη [41-44]. Καθὼς οἱ τιμές τῆς τοιχωματικῆς τάσεως αὐξάνονται, οἱ ἵνες τοῦ κολλαγόνου ποὺ στὶς χαμηλές τάσεις εἶναι ὀργανωμένες σὲ δέσμες μὲ τυχαῖο προσανατολισμό, ἀρχίζουν νὰ εὐθυγραμμίζονται σὲ κυκλοτερὴ διάταξη καὶ νὰ φέρουν μέρος τῆς ἀσκουμένης τάσεως. "Οσο αὐξάνεται ἡ τάση, μεγαλύτερο ποσοστὸ τῶν ἴνῶν κολλαγόνου εὐθυγραμμίζεται καὶ ἀρα συμμετέχει στὴ διαμόρφωση τοῦ συνολικοῦ μέτρου ἔλαστικότητος. Τὰ ἀνωτέρω, συμφώνως πρὸς τὸ μαθηματικὸ μοντέλο ποὺ ἀρχικῶς περιέγραψε ὁ Cox [40], ἐκφράζονται μὲ τὴ σχέση:

$$E = E_e W_e + f_c E_c W_c,$$

ὅπου  $E$  τὸ συνολικὸ μέτρο ἔλαστικότητος,  $E_e$  καὶ  $E_c$  τὸ μέτρο ἔλαστικότητος τῆς ἔλαστίνης καὶ τοῦ κολλαγόνου ἀντιστοίχως,  $W_e$  καὶ  $W_c$  ἡ ποσοστιαία συγκέντρωση αὐτῶν καὶ  $f_c$  τὸ ποσοστὸ τῶν ἴνῶν τοῦ κολλαγόνου ποὺ συμμετέχουν στὴ διαμόρφωση τοῦ συνολικοῦ μέτρου ἔλαστικότητος σὲ κάθε ἐπίπεδο τοιχωματικῆς τάσεως. "Οταν ἡ τοιχωματικὴ τάση τείνει στὸ μηδέν, τὸ  $f_c$  τείνει ὅμοιως στὸ μηδὲν καὶ ἡ ἀνωτέρω σχέση, κατὰ προσέγγιση, γίνεται  $E \cong E_e W_e$  (ἀρχικὸ τμῆμα τῆς καμπύλης τάσεως-παραμορφώσεως). Ἀντιθέτως, σὲ πολὺ ὑψηλές τιμές τάσεως τὸ

$f_c$  τείνει στη μονάδα καί, δεδομένου ότι  $E_c >> E_e$ , ή σχέση γίνεται  $E \asymp f_c E_c W_c$  (τελικό τμῆμα τῆς καμπύλης τάσεως-παραμορφώσεως). Συνεπῶς, τὸ μέτρο ἐλαστικότητος αὐξάνεται μὲ τὴν αὔξηση τῆς τοιχωματικῆς τάσεως. Τὸ ἀορτικὸ τοίχωμα, ἐλαστικὸ καὶ εὐένδοτο σὲ χαμηλές τιμές τάσεως, γίνεται δύσκαμπτο καὶ ἀνθεκτικὸ στὶς ὑψηλές, παρουσιάζοντας μία διφασικὴ μηχανικὴ συμπεριφορά. Μὲ τὸν ὑπολογισμὸ δύο μέτρων ἐλαστικότητος, ἐνὸς γιὰ κάθε μία ἀπὸ αὐτὲς τὶς φάσεις, δπως ἔγινε στὴν παροῦσα μελέτη, περιγράφεται ἵκανο ποιητικῶς ἡ ἐλαστικὴ συμπεριφορὰ τῆς ἀορτῆς σὲ ὅλο τὸ φάσμα τῶν τοιχωματικῶν τάσεων ἢ διατοιχωματικῶν πιέσεων.

‘Η παροῦσα μελέτη ἀπέδειξε ότι ἡ δυσκαμψία τῆς ἰσχαιμικῆς θωρακικῆς ἀορτῆς, σὲ ὅλο τὸ φάσμα τῶν τοιχωματικῶν τάσεων, αὐξάνεται κατ’ ἓνα, κατὰ τὸ μᾶλλον ἡ ἥττον, σταθερὸ συντελεστὴ περίπου ἵσο μὲ 2. ‘Η σταθερὴ αὐτὴ μηχανικὴ συμπεριφορὰ τῆς ἰσχαιμικῆς ἀορτῆς ἀποδεικνύει ότι ἡ αὔξηση τῆς δυσκαμψίας τῆς δφείλεται σὲ ἐνδογενεῖς μεταβολὲς τοῦ ἀορτικοῦ τοιχώματος καὶ ὅχι σὲ τυχὸν ἐξωγενεῖς παράγοντες, ὅπως οἱ *in vivo* ἀλλαγὲς τῆς ἀρτηριακῆς πιέσεως. Οἱ ἐνδογενεῖς μεταβολὲς θεωρεῖται ότι ταυτίζονται μὲ τὶς μείζονες ἴστολογικὲς ἀλλοιώσεις ποὺ παρατηρήθηκαν, ὡς συνέπεια τῆς ἀορτικῆς ἰσχαιμίας.

Εἶναι γνωστὸ ἀπὸ πολλὲς δεκαετίες, ότι ἡ πειραματικῶς προκαλούμενη διαταραχὴ τῆς αἰματώσεως τοῦ ἀορτικοῦ τοιχώματος διὰ τῶν *vasa vasorum* ὁδηγεῖ σὲ ἀλλοιώσεις τοῦ μέσου χιτῶνος. ‘Ο Schlichter ἀνασκόπησε τὸ 1946 τὶς ποικίλες μεθόδους ποὺ εἶχαν χρησιμοποιηθεῖ ὅς τότε γιὰ τὴν πρόκληση ἀορτικῆς ἰσχαιμίας [45]. Τὸ 1965 οἱ Wilens καὶ συνεργάτες περιέγραψαν γιὰ πρώτη φορὰ τὴν πρόκληση ἰσχαιμικῆς νεκρώσεως τοῦ μέσου χιτῶνος τῆς κατιούσης θωρακικῆς ἀορτῆς κυνῶν μετὰ τὴν ἀπολίνωση διαδοχικῶν ζευγῶν μεσοπλευρίων ἀρτηριῶν [26]. Καθὼς τὰ *vasa vasorum* τῆς κατιούσης θωρακικῆς ἀορτῆς ἐκφύονται ἀπὸ τὶς παρακείμενες μεσοπλεύριες ἀρτηρίες [35], ἡ ἀπολίνωση τῶν τελευταίων ὁδήγησε σὲ ἰσχαιμία καὶ ἴστολογικὲς ἀλλοιώσεις παρόμοιες πρὸς αὐτὲς ποὺ παρατηρήθηκαν καὶ στὸ ὄλικὸ τῆς παροῦσης μελέτης. ‘Αντίστοιχες παρατηρήσεις ἔγιναν καὶ ἀπὸ τοὺς Heistad καὶ συνεργάτες τὸ 1981 [27]. Στὴν παροῦσα μελέτη, ὡστόσο, ὑπῆρξαν δύο σημαντικὲς τεχνικὲς καινοτομίες:

(α) χρησιμοποιήθηκε ἔνας συνδυασμὸς τεχνικῶν γιὰ τὴν πρόκληση τῆς ἰσχαιμίας τοῦ ἀορτικοῦ τοιχώματος, ποὺ περιέλαβε ἀφ’ ἐνὸς τὴν ἀπολίνωση τῶν μεσοπλευρίων ἀρτηριῶν καὶ ἀφ’ ἑτέρου τὴν ἀποψίλωση τοῦ περιαορτικοῦ ἴστοῦ ποὺ φέρει τὰ *vasa vasorum*.

(β) ἡ κατιούσα θωρακικὴ ἀορτὴ περιτυλίχθηκε μὲ συνθετικὸ μὴ πορώδες ὄλικό, τὸ ὄποιο ἀπέκλεισε κάθε ἐπαφὴ τοῦ ἀορτικοῦ τοιχώματος μὲ τοὺς πέριξ ἴστούς. ‘Απεφεύχθησαν κατὰ τὸν τρόπο αὐτὸς ἡ «πάχυνση καὶ ἕνωση τοῦ ἔξω χιτῶνος, μὲ ἐνερ-

γὸ πολλαπλασιασμὸ ἰνοβλαστῶν καὶ ἀνάπτυξη τριχοειδῶν καὶ ἐνῶν κολλαγόνου» ποὺ παρατήρησαν οἱ Wilens καὶ συνεργάτες.

‘Ο συνδυασμὸς τῆς τεχνικῆς πρόκλησης τῆς ἀορτικῆς ἰσχαιμίας καὶ τῆς ἀποτροπῆς νεοαγγειώσεως τοῦ ἀορτικοῦ τοιχώματος ποὺ ἐφαρμόστηκε στὴν παροῦσα μελέτη, εἶχε ὡς συνέπεια τὴν πλέον ἐκτεταμένη καὶ παρατεταμένη ἰσχαιμία τοῦ μέσου χιτῶνος. Οἱ κατὰ τόπους συγκεντρώσεις λείων μυϊκῶν κυττάρων ἐντὸς τῶν νεκρωτικῶν περιοχῶν τοῦ μέσου χιτῶνος ποὺ παρατηρήθηκαν ἀπὸ τὶς ἐρευνητικὲς ὄμάδες τοῦ Wilens καὶ τοῦ Heistad καὶ ἀξιολογήθηκαν ὡς πιθανὲς ἔστιες κυτταρικῆς ἀναγεννήσεως, δὲν παρατηρήθηκαν στὸ ἡμέτερο ὄλικό. ‘Η νέκρωση, ἀν καὶ ἐντονότερη στὸ μέσο τριτημόριο τοῦ μέσου χιτῶνος, δὲν ἐφείδετο καὶ τοῦ ἔξω τριτημόριου, μὲ δραματικὴ μείωση ἡ πλήρη ἐξαφάνιση τῶν λείων μυϊκῶν κυττάρων. ‘Ως ἔσχατη δὲ ἐκδήλωση τῆς μείζονος νεκρώσεως, στὴν παροῦσα μελέτη περιγράφονται γιὰ πρώτη φορὰ μικροσκοπικὰ καὶ μικροσκοπικὰ σημεῖα ἀρχόμενου ἀορτικοῦ διαχωρισμοῦ, ἐνισχύοντας τὶς ὑποθέσεις πολλῶν ἐρευνητῶν γιὰ τὸ ρόλο τῶν vasa vasorum στὴν αἰτιοπαθογένεια αὐτοῦ [26, 31, 34, 46-48].

### β. Κλινικὴ σημασία

“Εχει ἀποδειχθεῖ ὅτι ἡ αίματικὴ ροὴ στὰ vasa vasorum τῆς θωρακικῆς ἀορτῆς πειραματοζώων μειώνεται σημαντικῶς στὴν αίμορραγικὴ καταπληξία [31], στὴν ὀξεῖα ὑπέρταση ποὺ προκαλεῖται ἀπὸ ἀορτικὴ σύγκλειση στὸ ὕψος τοῦ διαφράγματος [31] καὶ στὴν πειραματικὴ συμπαθητικοτονία μέσω τῆς ἡλεκτρικῆς διέγερσης τοῦ ἀστεροειδοῦς γαγγλίου [32]. Μὲ βάση τὰ ἀποτελέσματα τῆς παρούσης μελέτης, μπορεῖ κανεὶς βασίμως νὰ ὑποθέσει ὅτι σὲ ἀντίστοιχες κλινικές καταστάσεις ἡ μείωση τῆς αίματικῆς παροχῆς τῶν vasa vasorum προκαλεῖ ἰσχαιμία τοῦ ἀορτικοῦ μέσου χιτῶνος καὶ μειωμένη ἀορτικὴ διατασιμότητα. Αὐτὸ ἐπιφέρει πλήθος παθοφυσιολογικῶν ἐπακόλουθων, δεδομένου ὅτι ἡ ἀορτικὴ διατασιμότητα ἀποτελεῖ σημαντικὸ παράγοντα ποὺ καθορίζει τὴν ἀπόδοση τῆς ἀριστερᾶς κοιλίας [49-51] καὶ τὴ στεφανιαία αίματικὴ ροὴ [9, 16, 17, 52]. ‘Η στεφανιαία ροὴ καὶ ἴδιαιτέρως ἡ ὑπενδοκάρδιος ροὴ, μειώνεται σὲ περιπτώσεις ἐλαττωμένης ἀορτικῆς διατασιμότητος [52]. ‘Επιπλέον, ἡ ἐλαττωμένη ἀορτικὴ διατασιμότητα δύναται νὰ συμβάλλει στὴ δυσλειτουργία καὶ τὴ διάταση τῆς ἀριστερᾶς κοιλίας σὲ ἀσθενεῖς μὲ ἀνεπάρκεια τῆς ἀορτικῆς βαλβίδος [53].

Παρόμοιες παθοφυσιολογικὲς διαταραχές πιθανῶς προκαλοῦνται καὶ στὶς περιπτώσεις μειώσεως τῆς αίματικῆς ροῆς στὰ vasa vasorum ὡς ἀποτέλεσμα ἀθηροματικῆς στενώσεως τῶν μητρικῶν των ἀρτηριῶν, ὡς ἐπὶ παραδείγματι τῶν στεφα-

νιαίων ἀρτηριῶν, ἀπ' ὅπου ἐκφύονται τὰ vasa vasorum τῆς ἀνιούσης θωρακικῆς ἀορτῆς [35]. Μεγάλος ἀριθμὸς λίαν προσφάτων μελετῶν ἔχουν δείξει ὅτι ἡ ἀορτικὴ διατασιμότητα εἶναι μειωμένη στὴ στεφανιαίᾳ νόσῳ [9, 10, 14-16, 54, 55]. Πλὴν τῆς μηχανικῆς συμβολῆς τῶν ἀορτικῶν ἀθηρωματικῶν πλακῶν στὴν αὔξηση τῆς ἀορτικῆς δυσκαμψίας, ἡ πλημμελής αἰμάτωση τοῦ τοιχώματος τῆς ἀνιούσης ἀορτῆς παίζει προφανῶς σημαντικὸ ρόλο στὴν ἐμφάνιση αὐτοῦ τοῦ φαινομένου. Εἰδικῶς σ' αὐτὴ τὴν περίπτωση, ἀναπτύσσεται ἔνας φαῦλος κύκλος (μειωμένη στεφανιαίᾳ αἰματικὴ ροή → μειωμένη αἰματικὴ ροή στὰ vasa vasorum τῆς ἀνιούσης ἀορτῆς → ἵσχαιμία τῆς ἀνιούσης ἀορτῆς → μειωμένη ἀορτικὴ διατασιμότητα → περαιτέρω μείωση τῆς στεφανιαίας παροχῆς), δό όποιος συμβάλλει στὴ μυοκαρδιακὴ ἵσχαιμία.

Τὰ ἀποτελέσματα τῆς παρούσης μελέτης ἀποδεικνύουν ὅτι ἡ διακοπὴ τῆς αἱματικῆς ροῆς τῶν vasa vasorum στὴν κατιούσα θωρακικὴ ἀορτὴ χοίρων προκαλεῖ μείωση τῆς διατασιμότητος αὐτῆς περίπου εἰς τὸ ήμισυ. Ὁ βαθμὸς τῆς μειώσεως ἥταν σταθερὸς σὲ ὅλο τὸ φάσμα τῶν τοιχωματικῶν τάσεων καὶ παραμορφώσεων στὶς δημοτικές ὑποβλήθηκε τὸ ἀορτικὸ τοίχωμα *in vitro*. Ἡ σταθερὴ αὐτὴ μηχανικὴ συμπεριφορὰ τῆς ἵσχαιμικῆς ἀορτῆς καὶ ἡ μείωση τῆς ἐλαστικότητός της ὀφείλονται στὶς μείζονες ἴστολογικὲς ἀλλοιώσεις ποὺ παρατηρήθηκαν ὡς συνέπεια τῆς ἀορτικῆς ἵσχαιμίας, κυρίαρχο στοιχεῖο τῶν ὄποιων ἥταν ἡ ἵσχαιμικὴ νέκρωση τῶν δύο ἔξι τριτημορίων τοῦ μέσου χιτῶνος.

#### S U M M A R Y

#### **The effect of aortic wall ischaemia on the mechanical properties of the vessel.**

Nourishment of the outer layers of thoracic aorta relies on blood supply from vasa vasorum. Therefore, it has been speculated that vasa vasorum flow influences the structure and mechanical properties of the aortic wall. This study was designed to determine any possible alterations in the structure and elastic characteristics of the upper segment of descending thoracic aorta caused by impairment of vasa vasorum flow.

Eight healthy Landrace pigs were subjected to interruption of the adventitial circulation of the upper segment of descending thoracic aorta (average length of 5 cm). Under sterile conditions, a left thoracotomy was performed, followed by both meticulous removal of periaortic tissue and proximal to the aortic wall ligation of the contiguous intercostal arteries. Ten weight matched sham-operated pigs were used as controls. Fifteen days after the

operation, the animals were sacrificed and the upper descending thoracic aorta was removed. Mechanical analysis of longitudinal aortic segments was subsequently performed with a uniaxial tension device (Vitrodyne 1000). Stress-strain curves were obtained and the elastic modulus of the specimens was estimated. The specimens were also stained with haematoxylin-eosin, Verhoeff's elastica and Masson's trichrome, and histological analysis was carried out in both groups of experimental animals.

Histology revealed extensive ischaemic necrosis of the outer media with complete loss of smooth muscle cells, and alterations of the elastic fibres, including loss of their wavy morphology and decrease of the intervals among them. The borderline between ischaemic and non-ischaemic media was sharp, and an outset of dissection was observed at this point. The mechanical analysis yielded bilinear stress-strain curves, probably due to the biphasic nature of the aortic wall, consisting of elastin and collagen. The elastic modulus of the ischaemic aortic wall increased from  $(1.5 \pm 0.1) \times 10^6$  g/m<sup>2</sup> to  $(3.0 \pm 0.2) \times 10^6$  g/m<sup>2</sup> at the initial —elastin dependent— part ( $p < 0.001$ ), and from  $(5.5 \pm 0.8) \times 10^7$  g/m<sup>2</sup> to  $(11.6 \pm 1.9) \times 10^7$  g/m<sup>2</sup> at the terminal —collagen dependent— part of the curves ( $p < 0.05$ ).

The results of the present study demonstrate that impairment of blood supply to the aortic wall leads to dramatic increase of aortic stiffness, under both physiologic and non-physiologic wall stress. The degree of increase has been invariable throughout the wide range of wall stress, probably as a result of the major structural alterations of the aortic wall due to ischaemia. Hence, changes of vasa vasorum flow, reported to occur in atherosclerosis, hypertension and several other conditions, may play a major role in the decreased aortic distensibility observed in these pathologic states, leading to numerous pathophysiologic sequelae.

## ΒΙΒΛΙΟΓΡΑΦΙΑ

1. Boudoulas H., Wooley CF. Aortic function. In: Boudoulas H., Toutouzas PK., Wooley CF., eds. Functional abnormalities of the aorta. New York: Futura Publishing Company, Inc., 1996 : 3-36.
2. Gregg DE., Khouri EM., Rayford CR. Systemic and coronary energetics in the resting unanesthetized dog. *Circ Res* 1965; 16 : 102-13.
3. Bader H. Dependence of wall stress in the human thoracic aorta on age and pressure. *Circ Res* 1967; 20 : 354-61.
4. Gozna ER., Marble AE., Shaw A., Holland JG. Age-related changes in the mechanics of the aorta and pulmonary artery of man. *J Appl Physiol* 1974; 36 : 407-11.
5. Merillon JP., Motte G., Fruchaud J., Masquet C., Gourgon R. Evaluation of the elasticity and characteristic impedance of the ascending aorta in man. *Cardiovasc Res* 1978; 12 : 401-6.
6. Paganini M., Mirsky I., Baig H., Manders WT., Kerckhoff P., Vatner SF. Effects of age on aortic pressure-diameter and elastic stiffness-stress relationships in unanesthetized sheep. *Circ Res* 1979; 44 : 420-9.
7. Avolio AP., Fa-Quan D., Wei-Qiang L., et al. Effects of aging on arterial distensibility in populations with high and low prevalence of hypertension: comparison between urban and rural communities in China. *Circulation* 1985; 71 : 202-10.
8. Imura T., Yamamoto K., Kanamori K., Mikami T., Yasuda H. Non-invasive ultrasonic measurement of the elastic properties of the human abdominal aorta. *Cardiovasc Res* 1986; 20 : 208-14.
9. Mohaddin RH., Underwood SR., Borgen HG., et al. Regional aortic compliance studied by magnetic resonance imaging: the effects of age, training, and coronary artery disease. *Br Heart J* 1989; 62 : 90-6.
10. Dart AM., Lacombe F., Yeoh JK., et al. Aortic distensibility in patients with isolated hypercholesterolemia, coronary artery disease, or cardiac transplant. *Lancet* 1991; 338 : 270-3.
11. Haynes FW., Ellis LB., Weiss S. Pulse wave velocity and arterial elasticity in arterial hypertension, arteriosclerosis and related conditions. *Am Heart J* 1936; 11 : 385-401.
12. Farrar DJ., Green HD., Bond MG., et al. Aortic pulse wave velocity, elasticity, and composition in a non-human primate model of atherosclerosis. *Circ Res* 1978; 43 : 52-62.
13. Farrar DJ., Bond MG., Sawyer JK., et al. Pulse wave velocity and morphological changes associated with early atherosclerosis progression in the aortas of cynomolgus monkeys. *Cardiovasc Res* 1984; 18 : 107-18.
14. Stefanidis C., Wooley CF., Bush CA., Kolibash AJ., Boudoulas H. Aortic distensibility abnormalities in coronary artery disease. *Am J Cardiol* 1987; 59 : 1300-4.

15. Stefanidis C., Wooley CF., Bush CA., Kolibash AJ., Boudoulas H. Aortic distensibility in post-stenotic aortic dilatation: the effect of co-existing coronary artery disease. *J Cardiol* 1988; 18 : 189-95.
16. Bogen HG., Mohaddis RH., Klipstein RK., et al. The function of the aorta in ischemic heart disease: a magnetic resonance and angiographic study of aortic compliance and blood flow patterns. *Am Heart J* 1989; 118 : 234-47.
17. Ohtsuka S., Kakihana M., Watanabe H., et al. Chronically decreased aortic distensibility causes deterioration of coronary perfusion during increased left ventricular contraction. *J Am Coll Cardiol* 1994; 24 : 1406-14.
18. Boudoulas H., Wooley CF. Aortic distensibility: important in clinical medicine? *Cardiology in Review* 1994; 2 : 211-7.
19. Aars H. Static load-length characteristics of aortic strips from hypertensive rabbits. *Acta Physiol Scand* 1968; 73 : 101-10.
20. Isnard RN., Pannier BM., Laurent S., et al. Pulsatile diameter and elastic modulus of the aortic arch in essential hypertension: a non-invasive study. *J Am Coll Cardiol* 1989; 13 : 399-405.
21. Stratos G., Stefanidis C., Kallikazaros I., Boudoulas H., Touzias P. Ascending aorta distensibility abnormalities in hypertensive patients and response to nifedipine administration. *Am J Med* 1992; 93 : 505-12.
22. Stefanidis CI., Karayannacos PE., Boudoulas H., et al. Medial necrosis and acute alterations in aortic distensibility following removal of the vasa vasorum of canine ascending aorta. *Cardiovasc Res* 1993; 27 : 951-6.
23. Stefanidis C., Vlachopoulos C., Karayannacos P., et al. Effect of vasa vasorum flow on structure and function of the aorta in experimental animals. *Circulation* 1995; 91 : 2669-78.
24. Kirk JE., Laursen TJS. Diffusion coefficients of various solutes for human aortic tissue: with special reference to variation in tissue permeability with age. *J Gerontol* 1955; 10 : 288-302.
25. Woerner CA. Vasa vasorum of arteries, their demonstration and distribution. In: Lansing Al, ed. *The arterial wall: aging, structure and chemistry*. Baltimore: The Williams & Wilkins Company, 1959 : 1-14.
26. Wilens SL., Malcolm JA., Vazquez JM. Experimental infarction (medial necrosis) of the dog's aorta. *Am J Pathol* 1965; 47 : 695-711.
27. Heistad DD., Marcus ML., Larsen GE., Armstrong ML. Role of vasa vasorum in nourishment of the aortic wall. *Am J Physiol* 1981; 240 : H781-7.
28. Yamamoto E., Bratzler R., Colton C., et al. Hydraulic permeability of arterial tissue. *Circulation* 1974; 49-50 (suppl 3): 273.
29. Harrison RG., Massaro T. Water flux through porcine aortic tissue due to a hydrostatic pressure gradient. *Atherosclerosis* 1976; 24 : 363-7.
30. Okuyama K., Yagashi H., Takahashi T., Sasaki H., Mori S. The three-dimensional architecture of vasa vasorum in the wall of the human aorta: a computer-aided reconstruction study. *Arch Pathol Lab Med* 1988; 112 : 726-30.

31. Heistad DD., Marcus ML., Law EG., Armstrong ML., Hardt JC., Aboud FM. Regulation of blood flow to the aortic media in dogs. *J Clin Invest* 1978; 62 : 133-40.
32. Heistad DD., Marcus ML., Martins JB. Effects of neural stimuli on blood flow through vasa vasorum in dogs. *Circ Res* 1979; 45 : 615-20.
33. Heistad DD., Armstrong ML., Madsen S. Blood flow through vasa vasorum in arteries and veins: effects of luminal PO<sub>2</sub>. *Am J Physiol* 1986; 250 : H434-42.
34. Marcus ML., Heistad DD., Law EG., Armstrong ML., Aboud FM. Effects of chronic hypertension on vasa vasorum in the thoracic aorta. *Cardiovasc Res* 1985; 19 : 777-81.
35. Robertson HF. Vascularization of the thoracic aorta. *Arch Pathol* 1929; 8 : 881-93.
36. Bergel DH. The properties of blood vessels. In: Fung YC, et al. *Biomechanics: its foundations and objectives*. New Jersey: Prentice-Hall, 1972; 5 : 10-4.
37. Patel DJ., Janicki JS., Vaishnav RN., Young JT. Dynamic anisotropic viscoelastic properties of the aorta in living dogs. *Circ Res* 1973; 22 : 93-107.
38. Haut RC., Viano DC., Garg BD., Absolon K., Golombok M. Cardiovascular response of an atherosclerotic animal to thoracic impact. Proceedings of the 1st Mid-Atlantic Conference on bio-fluid mechanics. Blacksburg. Va., 1978 : 217-27.
39. Haut RC., Garg BD., Metke M., Josia M., Kaye MP. Mechanical properties of the canine aorta following hypercholesterolemia. *J Biomech Eng*; 1980; 102 : 98-102.
40. Cox RH. Passive mechanics and connective tissue composition of canine arteries. *Am J Physiol* 1978; 234 : H533-41.
41. Bergel DH. The static elastic properties of the arterial wall. *J Physiol* 1961; 156 : 445-57.
42. Berry CL., Greenwald SE. Effects of hypertension on the static mechanical properties and chemical composition of the rat aorta. *Cardiovasc Res* 1976; 10 : 437-51.
43. Roach MR., Burton AC. The reason of the shape of the distensibility curves of arteries. *Can J Biochem* 1957; 35 : 681-90.
44. Wolinsky H., Lagow S. Structural basis for the static mechanical properties of the aortic media. *Circ Res* 1964; 14 : 400-13.
45. Schlichter JG. Experimental medionecrosis of the aorta. *Arch Path* 1946; 42 : 182-92.
46. Erdheim J. Medianecrosis aortae idiopathica cystica. *Virchows Arch Pathol Anat* 1930; 276: 186-229.
47. Gore I. Pathogenesis of dissecting aneurysm of the aorta. *Arch Pathol* 1952; 53 : 142-53.
48. Hirst AE., Gore I. Is cystic medionecrosis the cause of dissecting aortic aneurysm? *Circulation* 1976; 53 : 915-6.
49. Urschel CW., Covell JW., Sonnenblick EH., Ross J. Jr., Braun-

- w a l d E. Effects of decreased aortic compliance on performance of the left ventricle. Am J Physiol 1968; 214 : 298-304.
50. B i n k l e y P F., B o u d o u l a s H. Measurement of myocardial inotropy. In: Leier CV, ed. Cardiotonic drugs: a clinical review. New York: Marcel Dekker Inc, 1991 : 37-41.
51. K e l l y R P., T u n i n R., K a s s D A. Effect of reduced aortic compliance in cardiac efficiency and contractile function of in situ canine left ventricle. Circ Res 1992; 71 : 490-502.
52. W a t a n a b e H., O h t s u k a S., K a k i h a n a M., S u g i s h i t a Y. Coronary circulation in dogs with an experimental decrease in aortic compliance. J Am Coll Cardiol 1993; 21 : 1497-1506.
53. W i l s o n R A., M c D o n a l d R W., B r i s t o w J D., et al. Correlates of aortic distensibility in chronic aortic regurgitation and relation to progression to surgery. J Am Coll Cardiol 1992; 19 : 733-8.
54. S t e f a n a d i s C., S t r a t o s C., B o u d o u l a s H., K o u r o u k i s C., T o u t o u z a s P. Distensibility of the ascending aorta: comparison of invasive and non-invasive techniques in healthy men and in men with coronary artery disease. Eur Heart J 1990; 11 : 990-6.
55. S t e f a n a d i s C., S t r a t o s C., B o u d o u l a s H., V l a c h o p o u l o s C., K a l l i k a z a r o s I., T o u t o u z a s P. Distensibility of the ascending aorta in coronary artery disease and changes after nifedipine administration. Chest 1994; 105 : 1017-23.